

ФГБУ «Арктический и антарктический научно-исследовательский институт»

МЦД МЛ



Арктический и антарктический
научно-исследовательский институт



Арктический и антарктический
научно-исследовательский институт

Информационные материалы по мониторингу морского ледяного покрова
Арктики и Южного Океана на основе данных ледового картирования и
пассивного микроволнового зондирования SSMR-SSM/I-SSMIS-AMSR₂

19.08.2024 – 28.08.2024

№ 35(673)

Санкт-Петербург 2024

тел. +7(812)337-3149, эл. почта: vms@aari.aq

Адрес в сети Интернет: <http://wdc.aari.ru/datasets/doo42/>

Содержание

Северное Полушарие	4
Рисунок 1а – Ледовая карта СЛО и повторяемость кромки за текущую неделю (цветовая окраска по общей сплоченности)	
Рисунок 1б – Ледовая карта СЛО и повторяемость кромки за текущую неделю (цветовая окраска по преобладающему возрасту)	
Рисунок 1в – Положение кромки льда и зон разреженных и сплоченных льдов СЛО за последний доступный срок на основе ледового анализа НЛЦ США	6
Рисунок 2а – Обзорная ледовая карта СЛО за текущую неделю и аналогичные периоды 2007-2019.	8
Рисунок 2б – Поля распределения средневзвешенной толщины льда совместной модели морского льда – океана HYCOM/CICE Датского метеорологического института	9
Рисунок 2в – Поля распределения средней за 36-часовые промежутки температуры поверхности морского льда и океана Датского метеорологического института	10
Рисунок 2г – Поле дрейфа морского льда Арктики по расчетам МЦД МЛ ААНИИ, источник данных EUMETSAT OSISAF, AMSR-2	11
Рисунок 2д – Ежедневные оценки сезонного хода объема морского льда СЛО на основе расчетов средневзвешенной толщины льда совместной модели морского льда – океана HYCOM/CICE Датского метеорологического института	12
Рисунок 2е – Аномалии приземной температуры воздуха (2м) и осредненные вектора скорости ветра (10 м)	13
Таблица 1 – Динамика изменения значений ледовитости для акваторий Северной полярной области за текущую неделю по данным наблюдений SSMR-SSM/I-SSMIS	15
Таблица 2 – Медианные значения ледовитости для Северной полярной области и 3-х меридиональных секторов за текущие 30 и 7-дневные интервалы и её аномалии от 2011-2016 гг. и интервалов 2006-2017 гг. и 1978-2017 гг. по данным наблюдений SSMR-SSM/I-SSMIS	15
Таблица 3 – Экстремальные и средние значения ледовитости для Северной полярной области и 3 меридиональных секторов за текущий 7-дневный интервал по данным наблюдений SSMR-SSM/I-SSMIS, алгоритм NASATEAM	15
Рисунок 3а – Ежедневные оценки сезонного хода ледовитости для Северной Полярной Области и её трех меридиональных секторов за период с 26.10.1978 по текущий момент времени по годам. ..	18
Рисунок 3б – Ежедневные оценки сезонных изменений ледовитости для Северной Полярной Области с 26.10.1978 по текущий момент времени	19
Рисунок 4 – Медианные распределения сплоченности льда за текущие 7 дневные промежутки (слева) и её разности относительно медианного распределения за те же промежутки за периоды 1979-2020 (центр) и 2009-2020 гг. (справа) на основе расчетов по данным SSMR-SSM/I-SSMIS, алгоритмы NASATEAM	
Южный океан	20
Рисунок 5 а,б – Ледовая карта Южного Океана за последний доступный срок (окраска по общей сплоченности и преобладающему возрасту)	19,21
Рисунок 5в – Положение кромки льда и зон разреженных и сплоченных льдов Южного Океана за последний доступный срок на основе ледового анализа НЛЦ США.	22
Рисунок 5д – Анализ ААНИИ крупных айсбергов Южного океана	
Таблица 4 – Параметры крупных айсбергов Южного океана на основе анализа ААНИИ	23
Рисунок 7а – Ежедневные оценки сезонного хода ледовитости Южного Океана и его трёх меридиональных секторов за период с 26.10.1978 по текущий момент времени по годам	24
Рисунок 7б – Ежедневные оценки сезонного хода ледовитости Южного Океана и его трёх меридиональных секторов за период с 26.10.1978 по текущий момент времени.	25
Рисунок 8 – Медианные распределения общей сплоченности льда за текущие 7 дневные промежутки (слева) и её разности относительно медианного распределения за тот же промежуток за периоды 1979-2020 (центр) и 2009-2020 гг. (справа) на основе расчетов по данным SSMR-SSM/I-SSMIS, алгоритм NASATEAM	
Таблица 5 – Динамика изменения значений ледовитости для акваторий Южного океана за текущий 7-дневный интервал по данным наблюдений SSMR-SSM/I-SSMIS	26
Таблица 6 – Медианные значения ледовитости для Южного океана и 3 меридиональных секторов за текущие 30 и 7-дневные интервалы и её аномалии от 2011-2016 гг. и интервалов 2007-2017 гг. и 1978-2017 гг. по данным наблюдений SSMR-SSM/I-SSMIS, алгоритм NASATEAM	26
Таблица 7 – Экстремальные и средние значения ледовитости для Южного океана и 3 меридиональных секторов за текущий 7-дневный интервал по данным наблюдений SSMR-SSM/I-SSMIS, алгоритм NASATEAM	26

Земля в целом

Рисунок 9 – Ежедневные сглаженные окном 365 суток значения ледовитости Арктики, Антарктики и Земли в целом с 26.10.1978 на основе SSMR-SSM/I-SSMIS	27
Рисунок 10 – Ежедневные сглаженные окном 365 суток значения приведенной ледовитости Арктики, Антарктики и Земли в целом с 26.10.1978 на основе SSMR-SSM/I-SSMIS	28
Рисунок 11 – Ежедневные сглаженные окном 365 суток значения общей сплоченности Арктики и Антарктики с 26.10.1978 на основе SSMR-SSM/I-SSMIS	
Приложение 1 – Статистические значения ледовитостей по отдельным акваториям Северной Полярной Области и Южного океана	30
Таблица 8 – Средние, аномалии среднего и экстремальные значения ледовитостей для Северной полярной области и её отдельных акваторий за текущие 7-дневный (неделя) и 30-дневный промежутки времени по данным наблюдений SSMR-SSM/I-SSMIS, алгоритм NASATEAM за период 1978-2017 гг.....	30
Таблица 9 – Средние, аномалии среднего и экстремальные значения ледовитостей для Южного океана и его отдельных акваторий за текущие 7-дневный и 30-дневный промежутки времени по данным наблюдений SSMR-SSM/I-SSMIS, алгоритм NASATEAM за период 1978-2017	30
Таблица 10 – Динамика изменения значений ледовитости по сравнению с предыдущей неделей для морей Северной полярной области и Южного океана за текущий 7-дневный (неделя) промежуток времени по данным наблюдений SSMIS	
Характеристика исходного материала и методика расчетов	30
Список источников	40

Северное Полушарие

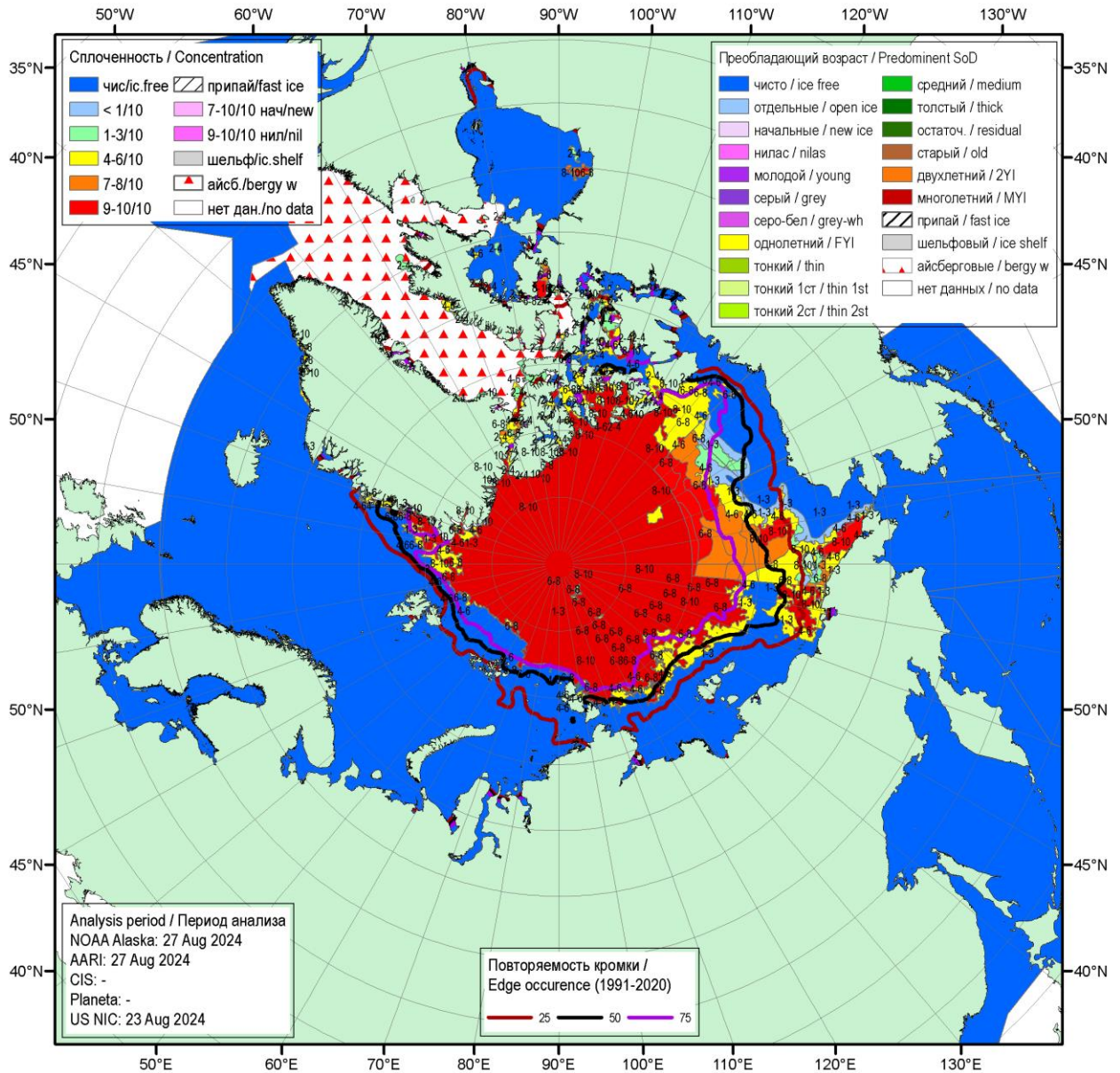


Рисунок 1а – Обзорная ледовая карта СЛЮ за 23.08 - 27.08.2024 г. (цветовая раскраска по общей сплоченности) на основе ледового анализа ААНИИ (27.08), NOAA Аляска (27.08), НИЦ Планета (-), Национального ледового центра США (23.08) и повторяемость кромки за 26-31.08 за период 1991-2020гг. по наблюдениям SSMR-SSM/I-SSMIS (алгоритм NASATEAM).

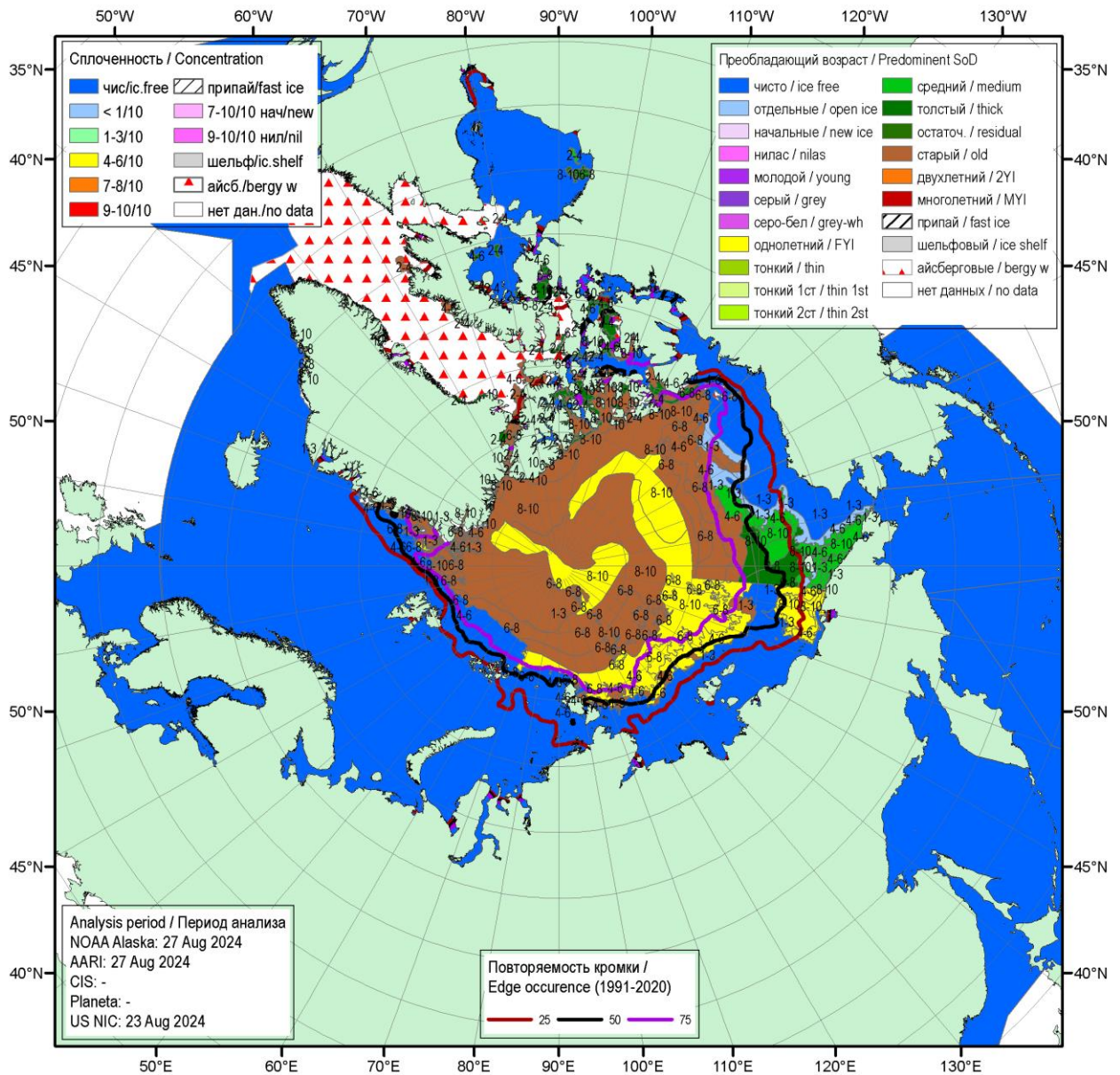


Рисунок 16 – Обзорная ледовая карта СЛО за 23.08 - 27.08.2024 г. (цветовая раскраска по преобладающему возрасту) на основе ледового анализа ААНИИ (27.08), НОАА Аляска (27.08), НИЦ Планета (-), Национального ледового центра США (23.08) и повторяемость кромки за 26-31.08 за период 1991-2020гг. по наблюдениям SSMR-SSM/I-SSMIS (алгоритм NASATEAM).

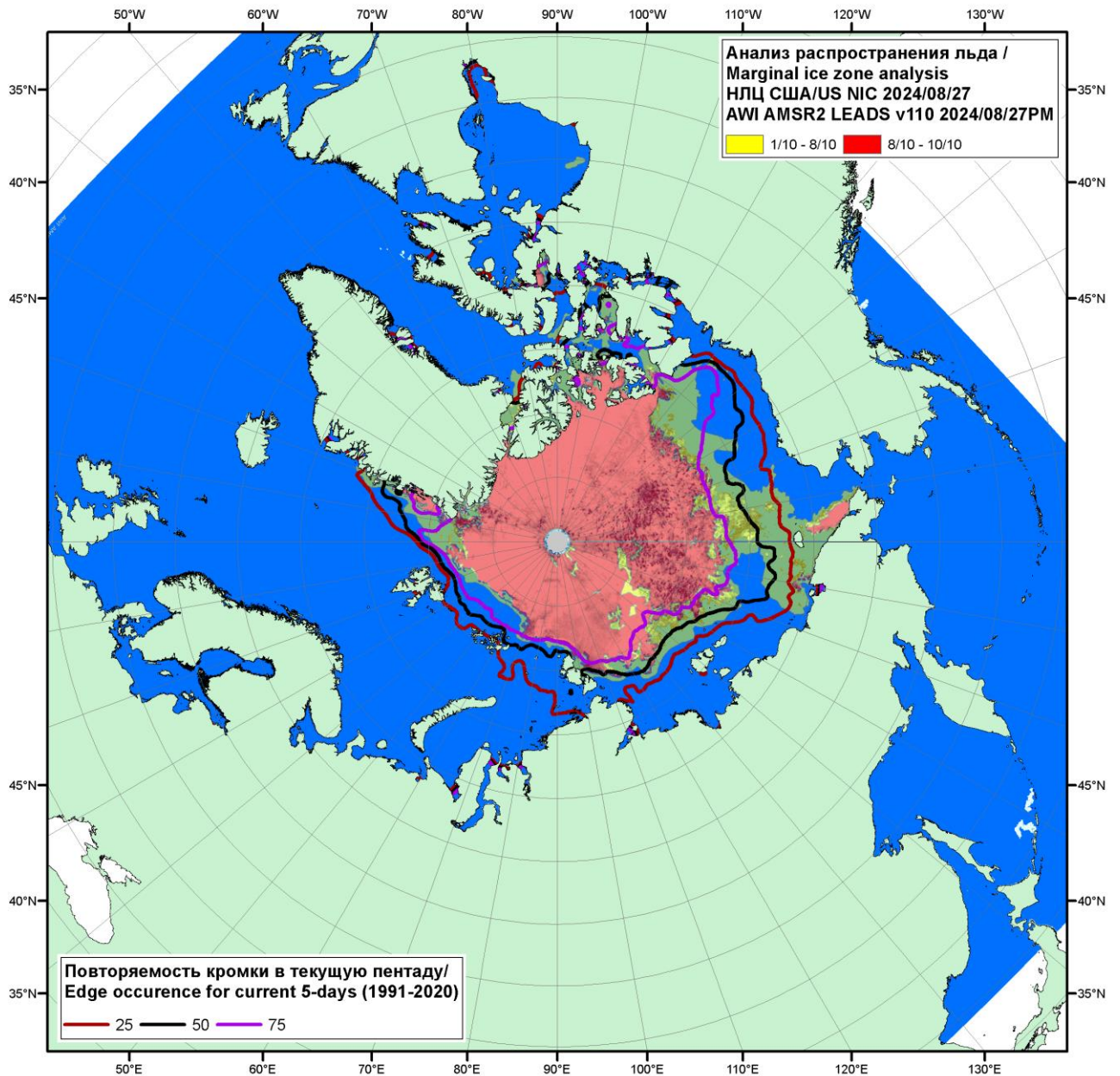


Рисунок 1в – Положение кромки льда и зон разреженных (<8/10) и сплоченных (≥8/10) льдов СЛО за 27.08.2024 г. на основе ледового анализа Национального Ледового Центра США и повторяемость кромки за 26-31.07 за период 1991-2020 гг. по наблюдениям SSMR-SSM/I-SSMIS (алгоритм NASATEAM), совмещенное с положением разрежений на основе данных ИСЗ AMSR2 27.08.2024 (AWI, v110).

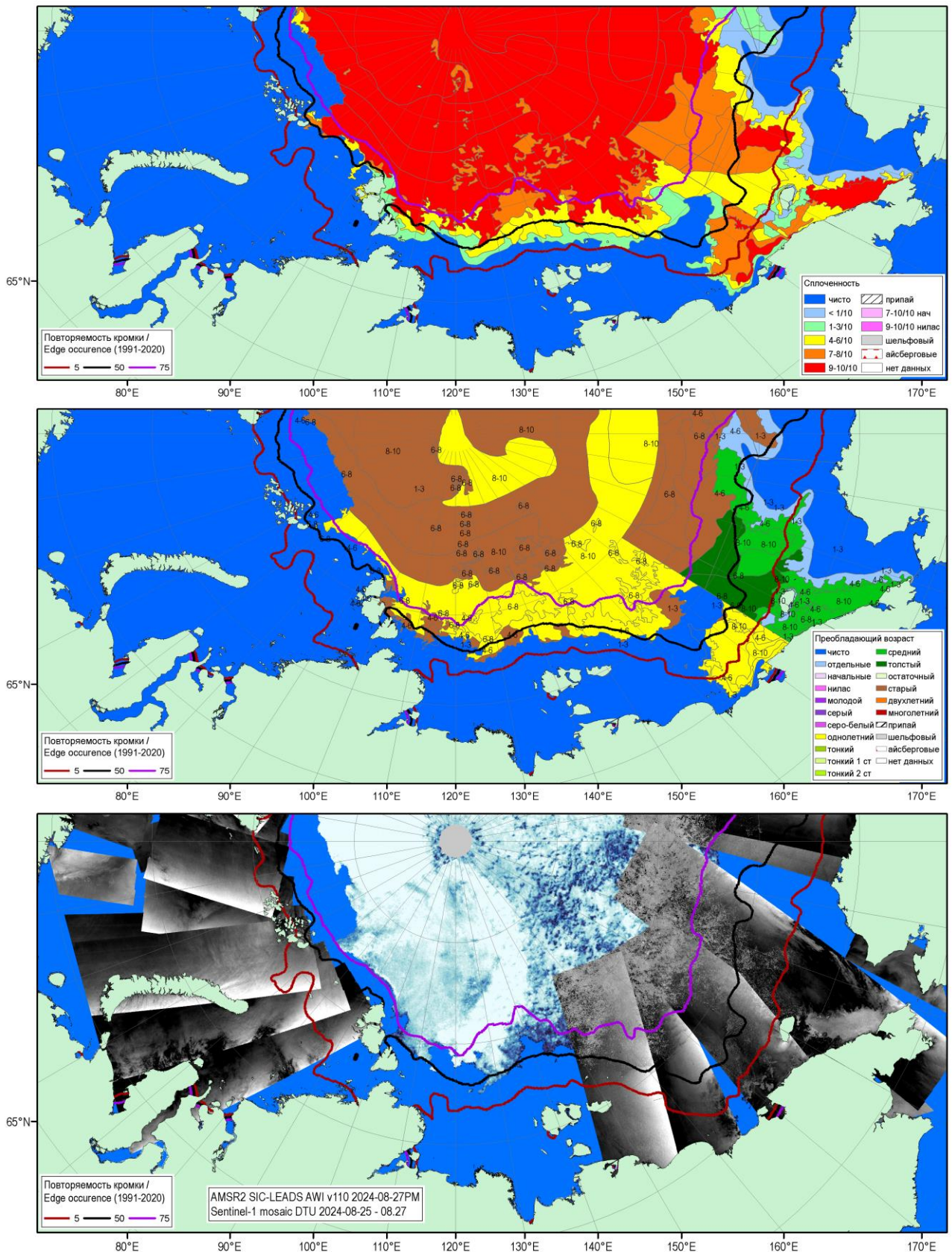
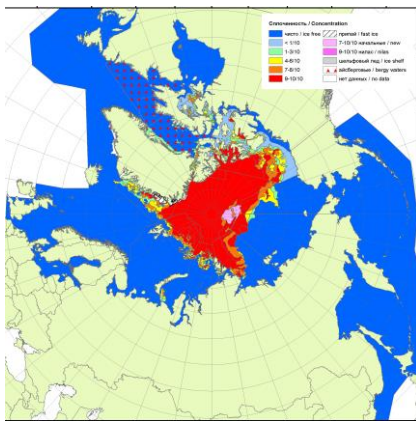
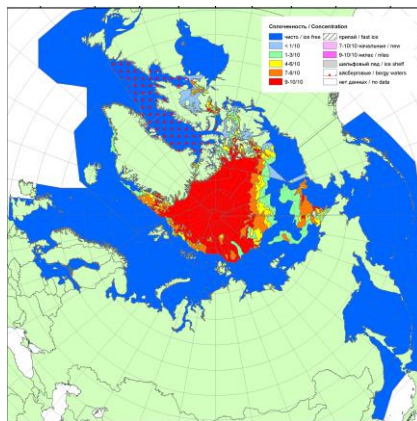


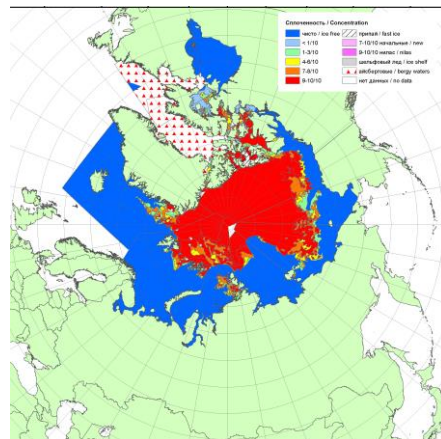
Рисунок 1г – Обзорная ледовая карта СМП за 23.08 - 27.08.2024 г. на основе ледового анализа ААНИИ (27.08), НОАА Аляска (27.08), НИЦ Планета (-), Национального ледового центра США (23.08), повторяемость кромки за 26-31.08 за период 1991-2020гг. по наблюдениям SSMR-SSM/I-SSMIS (алгоритм NASATEAM), оценка сплоченности льда и положения полыней за 20.08.2024 на основе данных AMSR2 (AWI, ver.110) и мозаика снимков Sentinel-1 за 25-27.08 (seoice.dtu.dk).



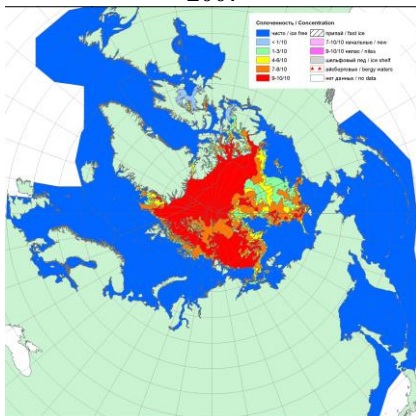
2007



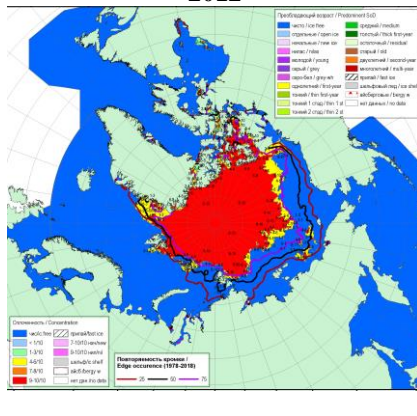
2012



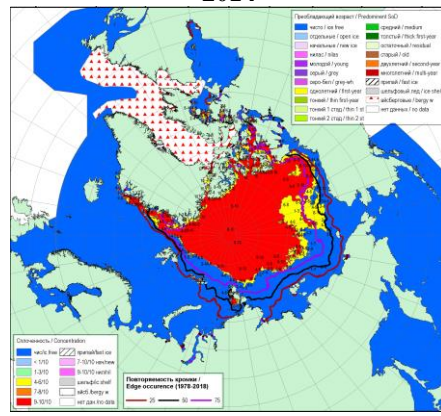
2014



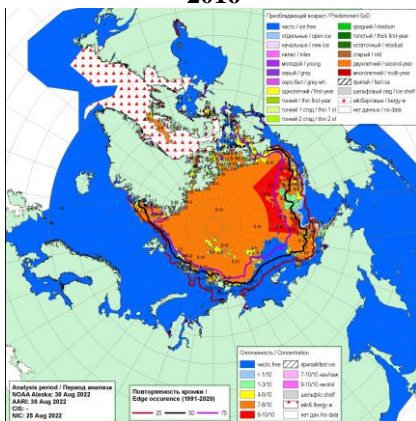
2016



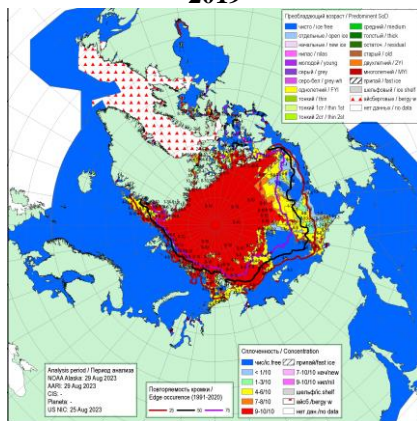
2019



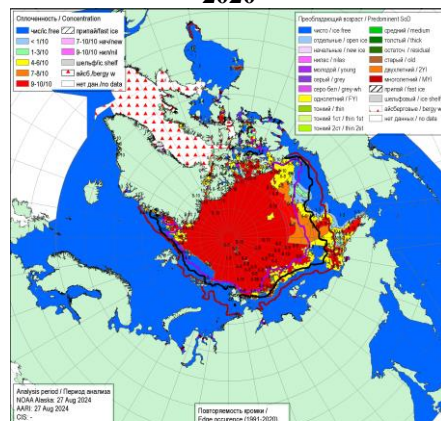
2020



2022



2023



2024

Рисунок 2а – Ледовые условия за 23.08-27.08.2024г. и аналогичные периоды 2007-2023 гг. на основе ледового анализа ААНИИ, НИЦ Планета, Канадской ледовой службы и Национального ледового центра США.

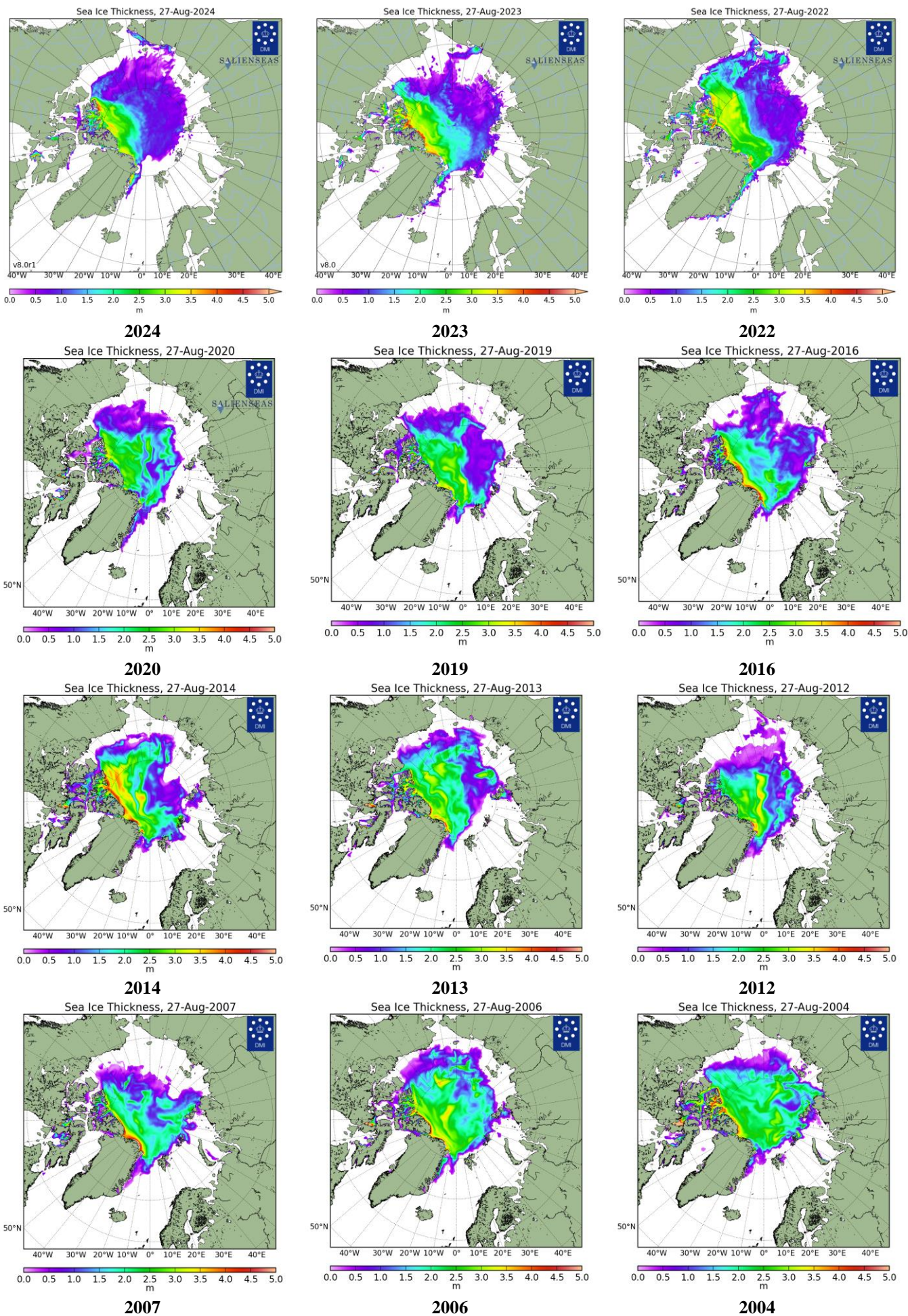


Рисунок 26 – Поля распределения средневзвешенной толщины льда совместной модели морского льда – океана NUSOM/CICE Датского метеорологического института 27.08 за 2004-2024 гг.

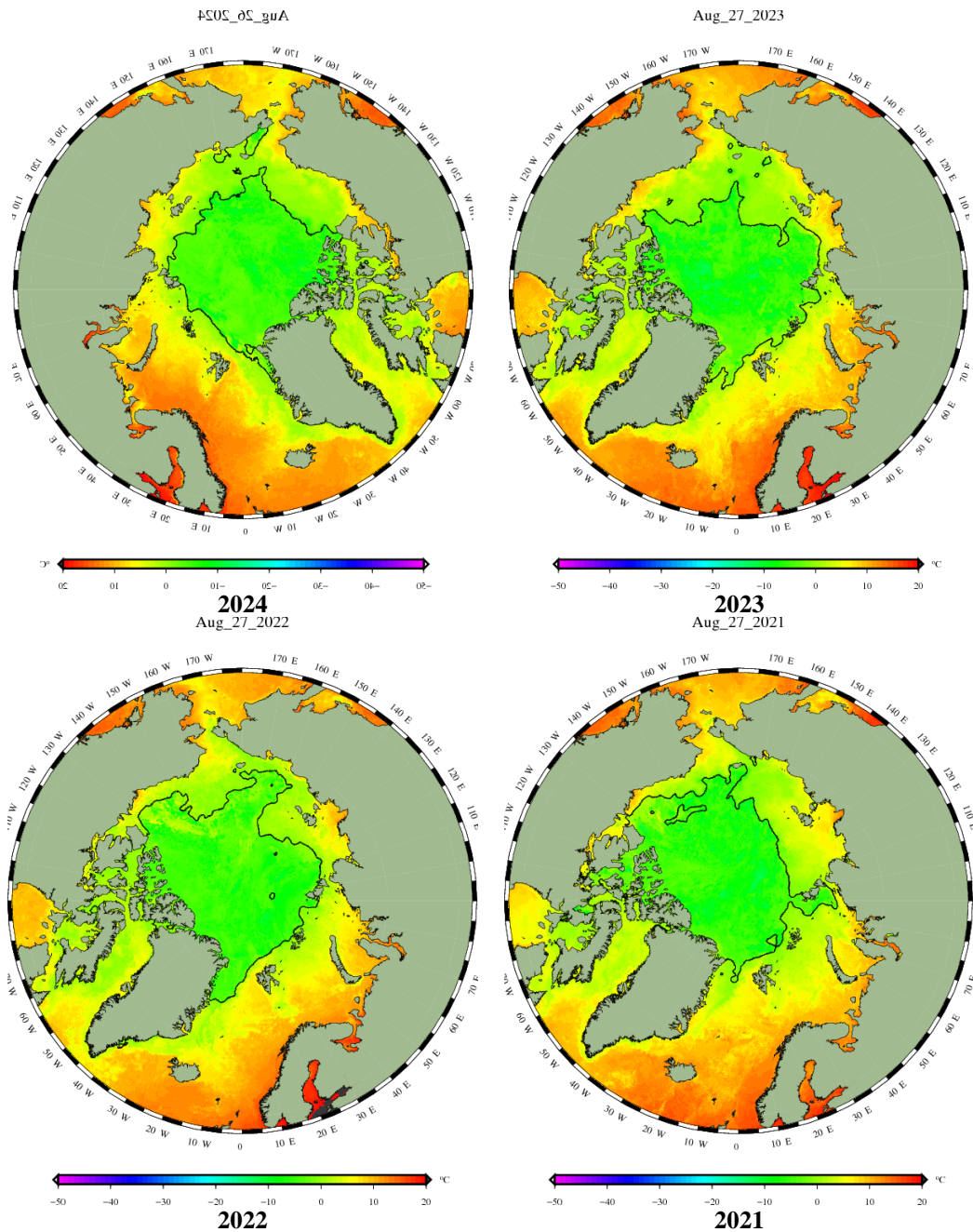


Рисунок 2в – Поля распределения средней за 36-часовые промежутки температуры поверхности морского льда и океана Датского метеорологического института на основе статистической обработки ИК-каналов AVHRR ИСЗ MetOp-A за 25.08-27.08 2021-2024 гг. (<http://polarportal.dk/en/sea-ice-and-icebergs/sea-ice-temperature/#c8099>)

Ice drift speed for 20240819T1200-20240826T1200

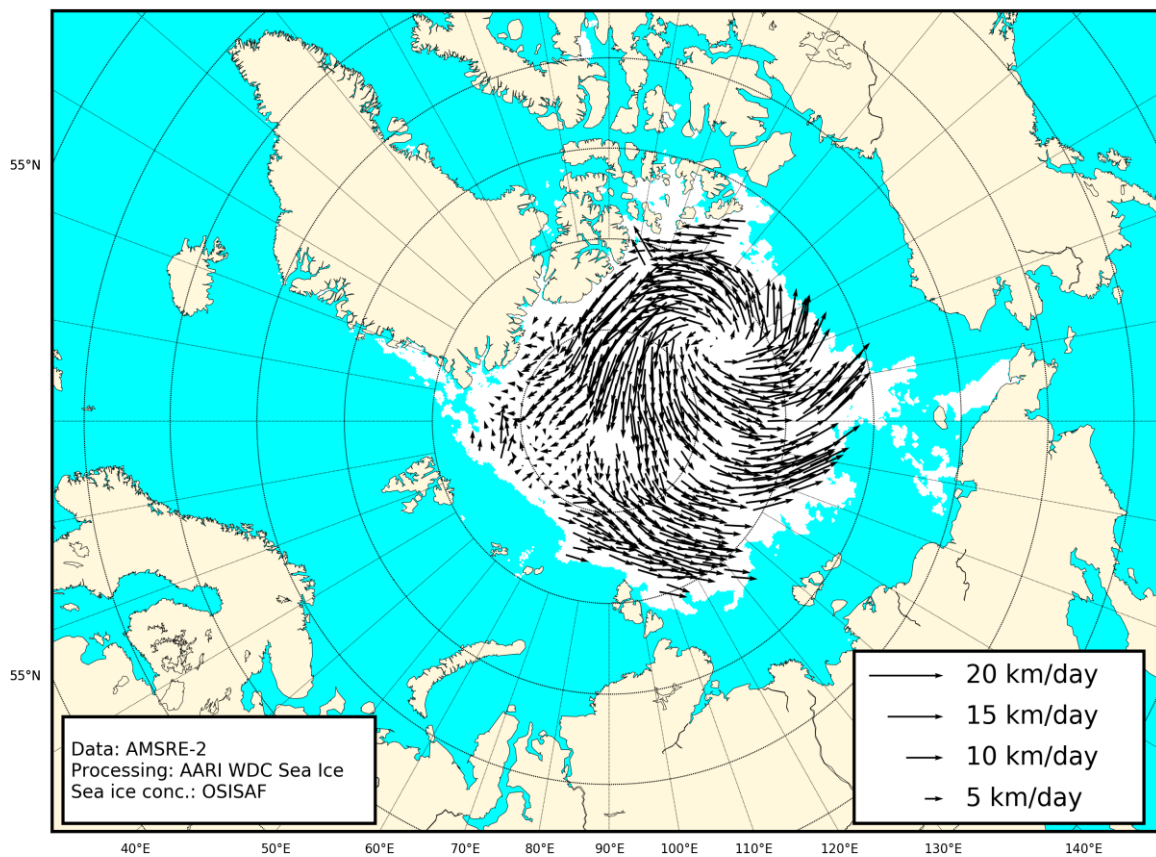


Рисунок 2г – Поле дрейфа морского льда Арктики за последнюю неделю, источник OSI SAF EUMETSAT.

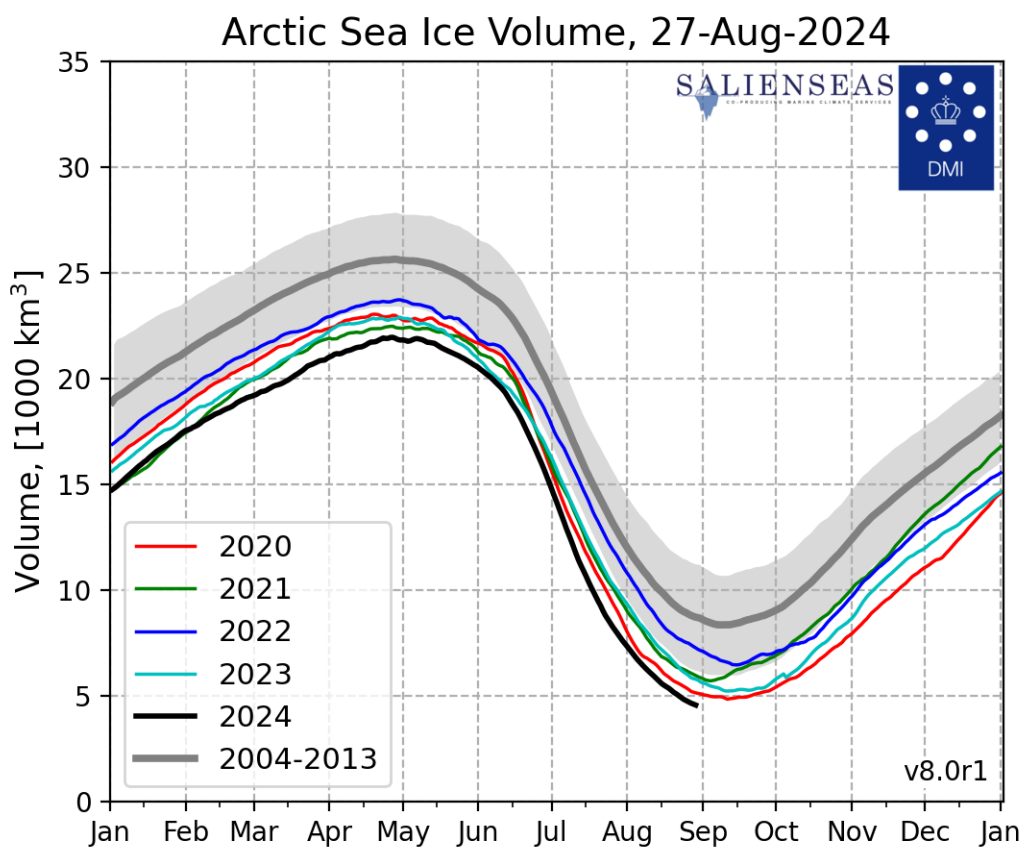
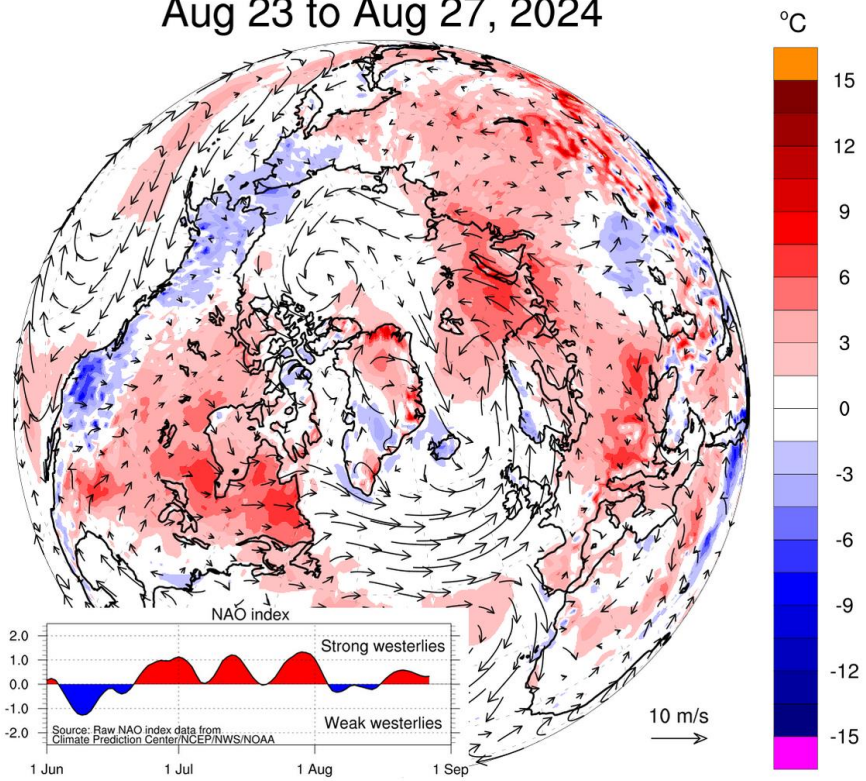


Рисунок 2д – Ежедневные оценки сезонного хода объема морского льда СЛО на основе расчетов средневзвешенной толщины льда совместной модели морского льда – океана HYCOM/CICE Датского метеорологического института с 28.02.2004 по 27.08.2024 гг.

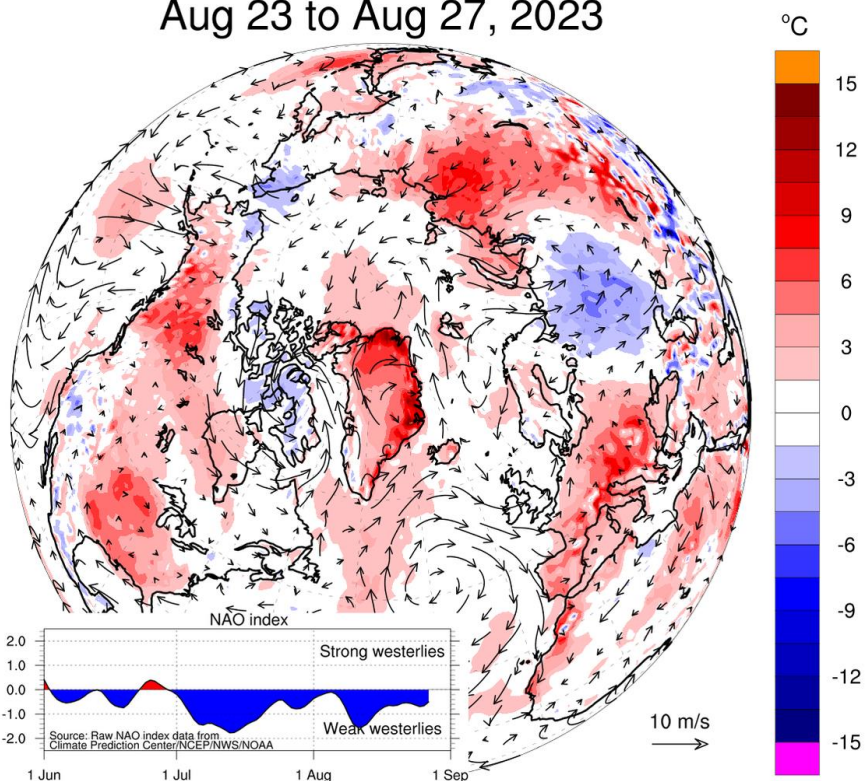
Aug 23 to Aug 27, 2024



ECMWF forecast: 2-m temperature and 10-m wind
T2m anomaly relative to ERA-Interim 2004-2013

polarportal.dk

Aug 23 to Aug 27, 2023



ECMWF forecast: 2-m temperature and 10-m wind
T2m anomaly relative to ERA-Interim 2004-2013

polarportal.dk

Рисунок 2е – Аномалии приземной температуры воздуха (2м) и осредненные вектора скорости ветра (10 м) за 23.08 - 27.08 в 2023-2024 гг. относительно периода 2004-2013 гг. (<http://polarportal.dk>)

Aug 23 to Aug 27, 2024

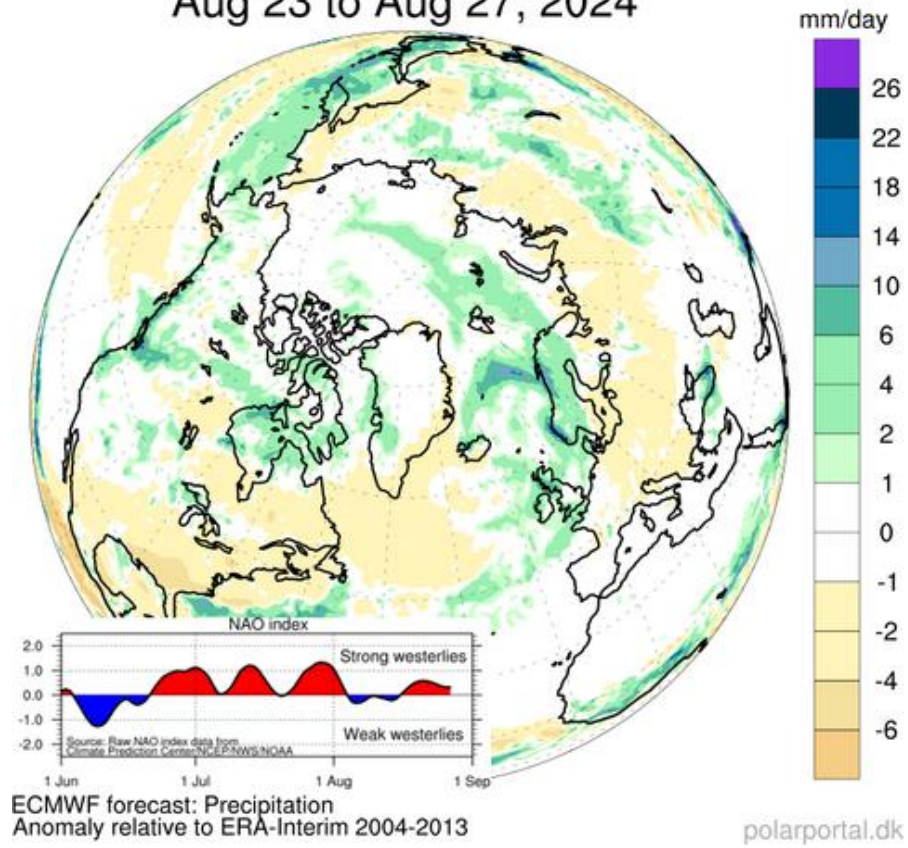


Рисунок 2ж – Аномалии приземной суммы осадков 23.08 – 27.08.2024 гг. относительно периода 2004-2013 гг. (<http://polarportal.dk>)

Таблица 1 – Динамика изменения значений ледовитости по сравнению с предыдущей неделей для морей Северной полярной область 19.08 – 25.08.2024 г. по данным наблюдений SSMR-SSM/I-SMIS

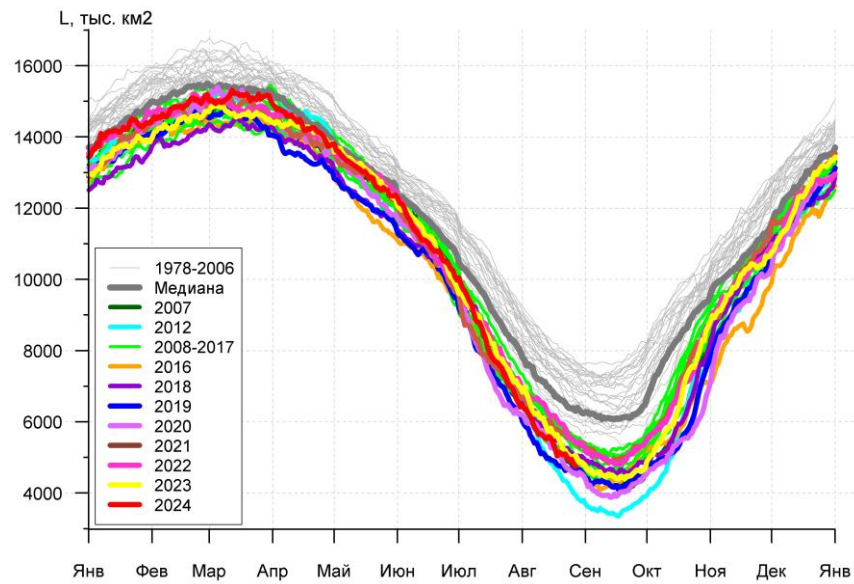
Регион	Северная полярная область	Сектор 45°W-95°E (Гренландское - Карское моря)	Сектор 95°E-170°W (моря Лаптевых - Чукотское, Берингово, Охотское)	Сектор 170°W-45°W (море Бофорта и Канадская Арктика)	Северный Ледовитый океан	Моря СМП (моря Карское-Чукотское)
Разность	-373.5	-63.6	-147.5	-162.3	-417.9	-151.6
тыс.кв.км/сут.	-53.4	-9.1	-21.1	-23.2	-59.7	-21.7

Таблица 2 - Медианные значения ледовитости для Северной полярной области, 3-х меридиональных секторов и моря СМП за текущие 30 и 7-дневные интервалы, и её аномалии от 2019-2023 гг. и интервалов 2014-2024 гг. и 1978-2024 гг. по данным наблюдений SSMR-SSM/I-SSMIS, алгоритмы NASATEAM

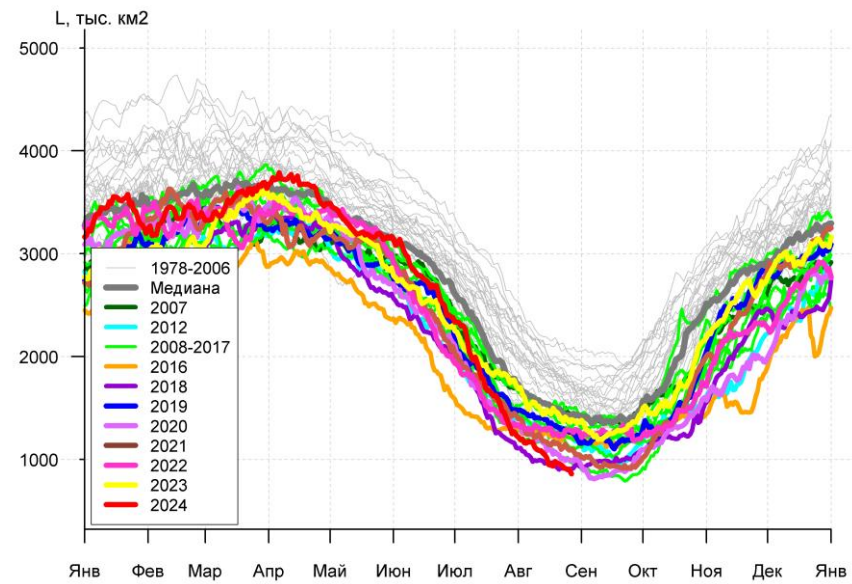
Северная полярная область								
Месяц	S, тыс. км2	Аномалии, тыс км2/%						
		2019 г	2020 г	2021 г	2022 г	2023 г	2014-2024гг	1978-2024гг
26.07-25.08	5797.0	416.8	165.4	-396.1	-691.5	-349.5	-203.2	-1340.4
		7.7	2.9	-6.4	-10.7	-5.7	-3.4	-18.8
19-25.08	5043.6	341.4	230.7	-597.3	-731.7	-167.4	-202.5	-1371.5
		7.3	4.8	-10.6	-12.7	-3.2	-3.9	-21.4
Сектор 45°W-95°E (Гренландское - Карское моря)								
Месяц	S, тыс. км2	Аномалии, тыс км2/%						
		2019 г	2020 г	2021 г	2022 г	2023 г	2014-2024гг	1978-2024гг
26.07-25.08	1104.2	-304.8	-91.8	-152.7	-191.9	-448.0	-205.3	-553.1
		-21.6	-7.7	-12.2	-14.8	-28.9	-15.7	-33.4
19-25.08	942.4	-358.3	-83.5	-190.3	-309.4	-474.7	-255.6	-553.5
		-27.5	-8.1	-16.8	-24.7	-33.5	-21.3	-37.0
Сектор 95°E-170°W (моря Лаптевых - Чукотское, Берингово, Охотское)								
Месяц	S, тыс. км2	Аномалии, тыс км2/%						
		2019 г	2020 г	2021 г	2022 г	2023 г	2014-2024гг	1978-2024гг
26.07-25.08	2137.6	594.3	724.8	449.4	-3.4	214.9	261.3	-213.2
		38.5	51.3	26.6	-0.2	11.2	13.9	-9.1
19-25.08	1922.3	748.1	745.6	500.0	34.6	375.9	338.4	-178.3
		63.7	63.4	35.2	1.8	24.3	21.4	-8.5
Сектор 170°W-45°W (море Бофорта и Канадская Арктика)								
Месяц	S, тыс. км2	Аномалии, тыс км2/%						
		2019 г	2020 г	2021 г	2022 г	2023 г	2014-2024гг	1978-2024гг
26.07-25.08	2555.2	127.3	-467.7	-692.8	-496.1	-116.4	-259.2	-574.1
		5.2	-15.5	-21.3	-16.3	-4.4	-9.2	-18.3
19-25.08	2178.9	-48.3	-431.4	-907.0	-456.9	-68.5	-285.2	-639.6
		-2.2	-16.5	-29.4	-17.3	-3.0	-11.6	-22.7
Северный Ледовитый океан								
Месяц	S, тыс. км2	Аномалии, тыс км2/%						
		2019 г	2020 г	2021 г	2022 г	2023 г	2014-2024гг	1978-2024гг
26.07-25.08	5502.5	230.9	152.6	-415.8	-670.1	-357.5	-291.4	-1487.0
		4.4	2.9	-7.0	-10.9	-6.1	-5.0	-21.3
19-25.08	4731.7	134.0	180.2	-645.9	-775.5	-219.6	-331.9	-1573.9
		2.9	4.0	-12.0	-14.1	-4.4	-6.6	-25.0
Моря СМП (моря Карское-Чукотское)								
Месяц	S, тыс. км2	Аномалии, тыс км2/%						
		2019 г	2020 г	2021 г	2022 г	2023 г	2014-2024гг	1978-2024гг
26.07-25.08	765.8	425.2	569.2	150.2	-84.8	-43.2	113.0	-513.4
		124.9	289.5	24.4	-10.0	-5.3	17.3	-40.1
19-25.08	522.6	420.6	488.4	123.5	-88.0	31.9	117.5	-458.9
		412.7	1431.1	30.9	-14.4	6.5	29.0	-46.8

Таблица 3 – Экстремальные и средние значения ледовитости для Северной полярной области, 3 меридиональных секторов и моря СМП за текущий 7-дневный интервал по данным наблюдений SSMR-SSM/I-SSMIS, алгоритмы

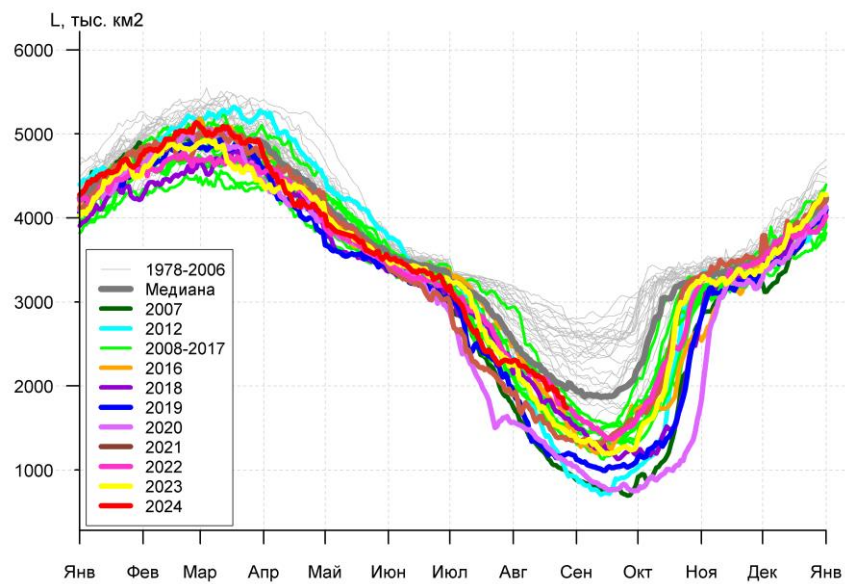
Северная полярная область				
Месяц	Минимальное знач.	Максимальное знач.	Среднее знач.	Медиана
19-25.08	4102.6 25.08.2012	8083.3 20.08.1996	6415.1	6522.2
Сектор 45°W-95°E (Гренландское - Карское моря)				
Месяц	Минимальное знач.	Максимальное знач.	Среднее знач.	Медиана
19-25.08	896.8 25.08.2018	2183.2 19.08.1981	1495.9	1448.2
Сектор 95°E-170°W (моря Лаптевых - Чукотское, Берингово, Охотское)				
Месяц	Минимальное знач.	Максимальное знач.	Среднее знач.	Медиана
19-25.08	1010.7 25.08.2007	2993.0 19.08.1996	2100.7	2047.0
Сектор 170°W-45°W (море Бофорта и Канадская Арктика)				
Месяц	Минимальное знач.	Максимальное знач.	Среднее знач.	Медиана
19-25.08	1753.9 25.08.2012	3618.1 19.08.1983	2818.5	2925.4
Северный Ледовитый океан				
Месяц	Минимальное знач.	Максимальное знач.	Среднее знач.	Медиана
19-25.08	4039.4 25.08.2012	7962.3 19.08.1996	6305.6	6441.4
Моря СМП (моря Карское-Чукотское)				
Месяц	Минимальное знач.	Максимальное знач.	Среднее знач.	Медиана
19-25.08	28.4 24.08.2020	2033.2 19.08.1996	981.5	865.9



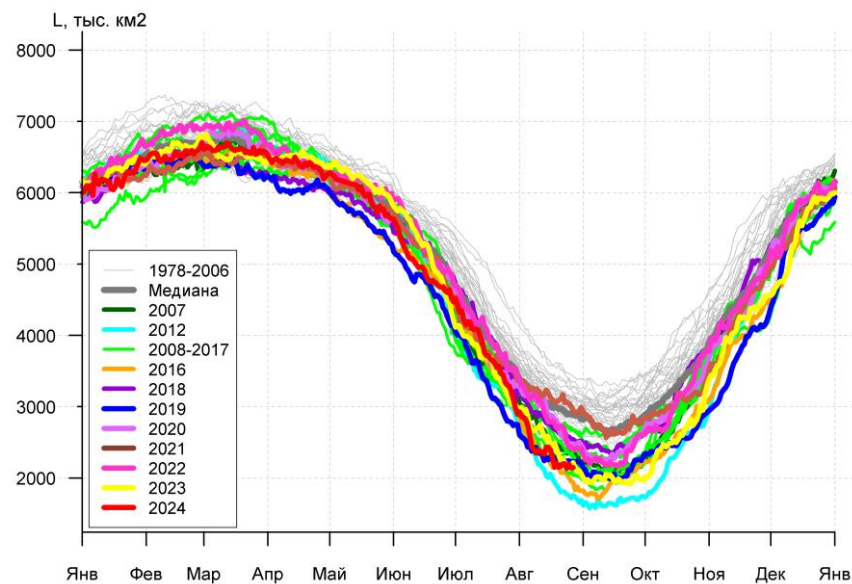
а)



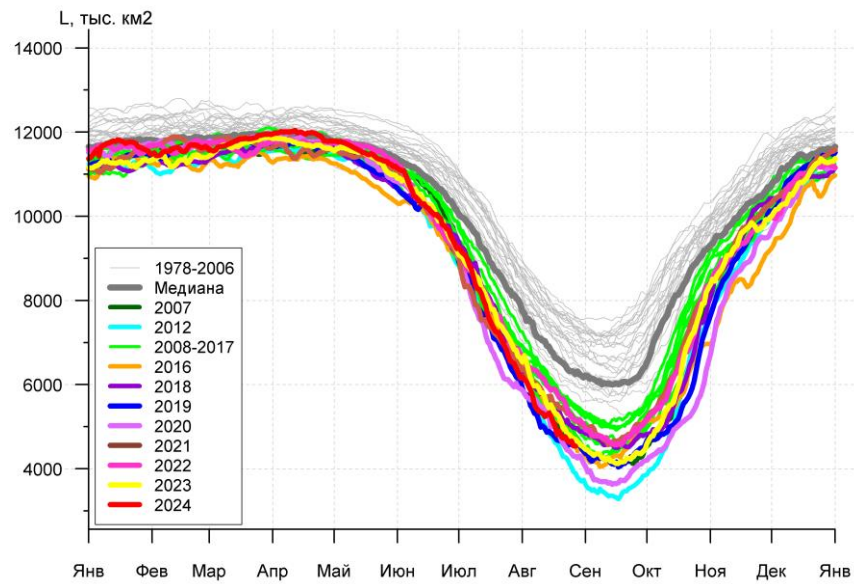
б)



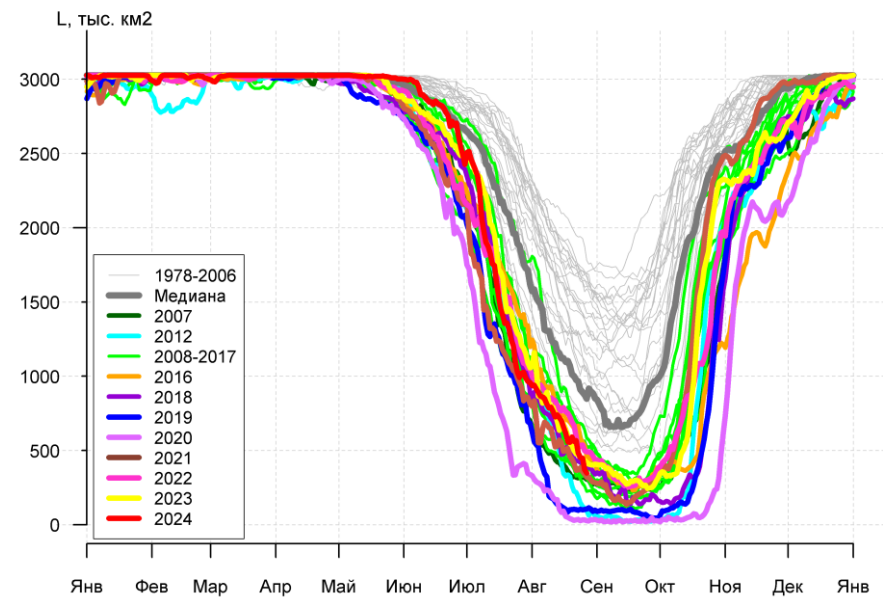
в)



г)



д)



е)

Рисунок 3а – Ежедневные оценки сезонного хода ледовитости для Северной Полярной Области и трех меридиональных секторов за период 26.10.1978 – 26.08.2024 по годам на основе расчетов по данным SSMR-SSM/I-SSMIS, алгоритмы NASATEAM: а) Северная полярная область, б) сектор 45°W-95°E (Гренландское – Карское моря), в) сектор 95°E-170°W (моря Лаптевых – Чукотское и Берингово, Охотское), г) сектор 170°W-45°W (море Бофорта и Канадская Арктика), д) Северный Ледовитый океан, е) Северный морской путь (Карское - Чукотское моря).

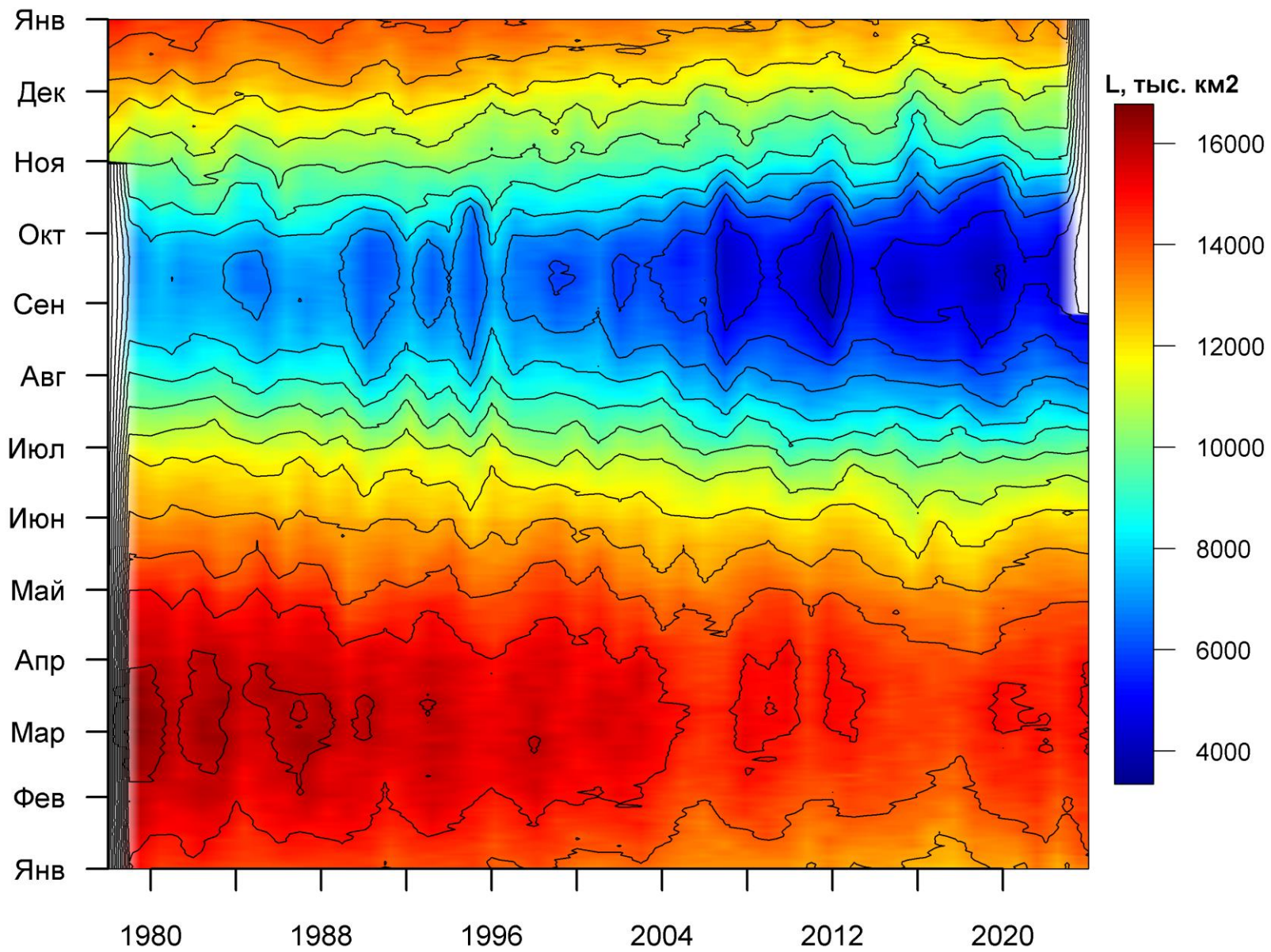


Рисунок 36 – Ежедневные оценки сезонных изменений ледовитости для Северной Полярной Области за период 26.10.1978 – 26.08.2024 на основе расчетов по данным SSMR-SSM/I-SSMIS, алгоритм NASATEAM.

Южный океан

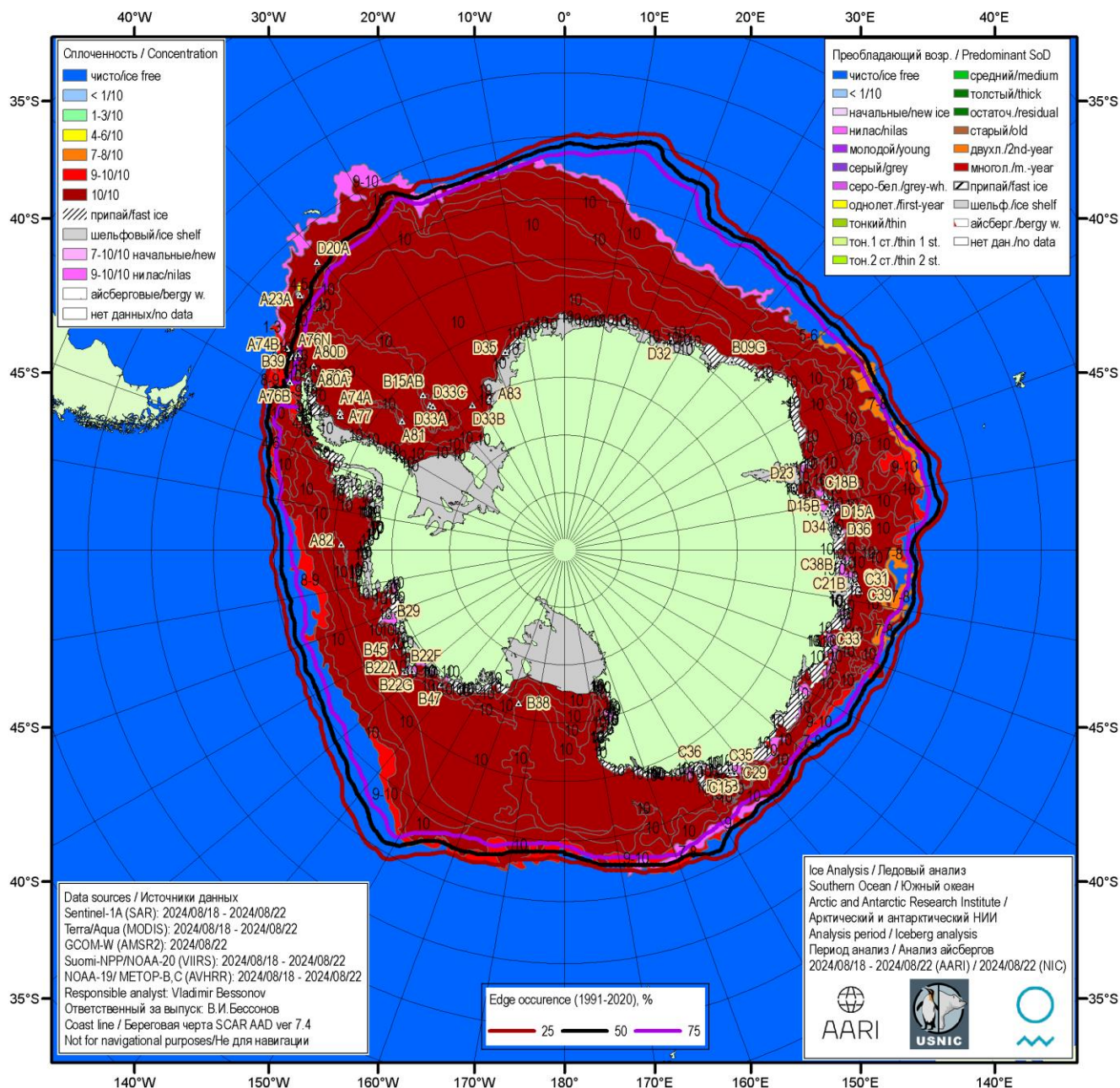


Рисунок 5а – Ледовая карта Южного океана (цветовая окраска по общей сплоченности) и расположение крупных айсбергов на основе ледового анализа за 22.08.2024 в рамках проекта совместного ледового картирования Южного океана ААНИИ, НЛЦ США и НМИ и повторяемость кромки за 21-25.08 за период 1991-2020 гг. по наблюдениям SSMR-SSM/I-SSMIS (алгоритм NASATEAM)

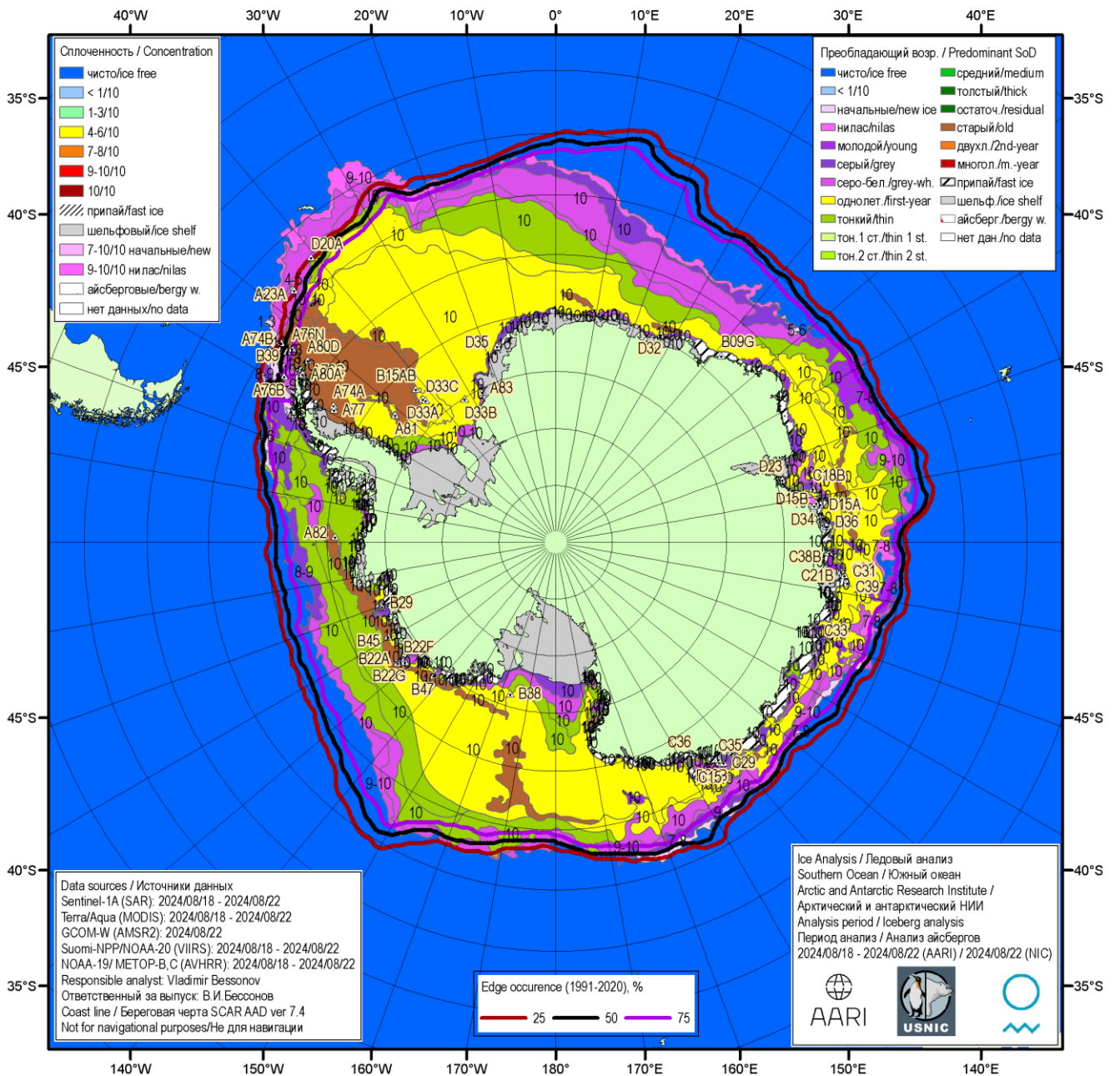


Рисунок 5в – Ледовая карта Южного океана (цветовая окраска по возрасту) и расположение крупных айсбергов на основе ледового анализа за 22.08.2024 в рамках проекта совместного ледового картирования Южного океана ААНИИ, НЛЦ США и НМИ и повторяемость кромки за 21-25.08 за период 1991-2020 гг. по наблюдениям SSMR-SSM/I-SSMIS (алгоритм NASATEAM)

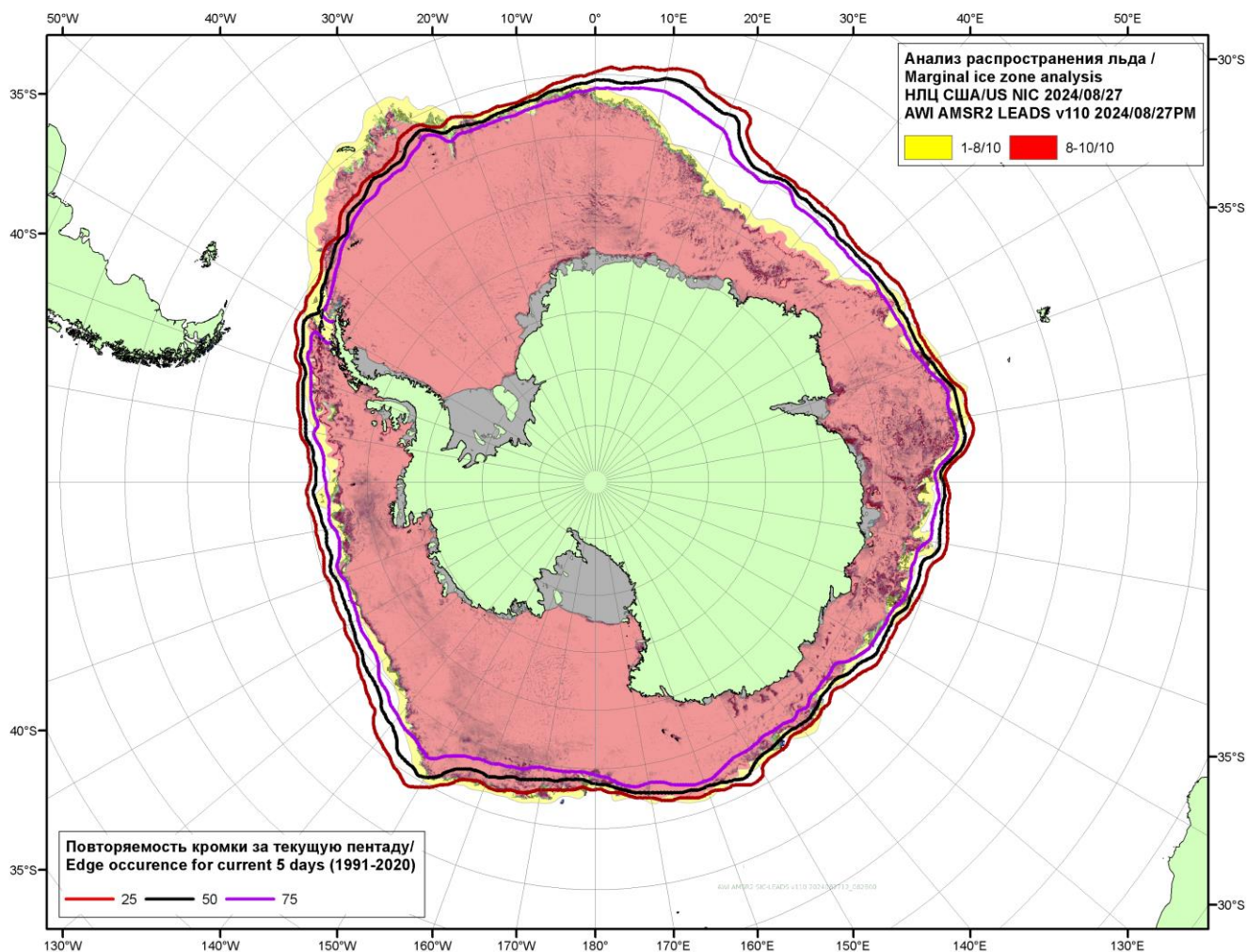
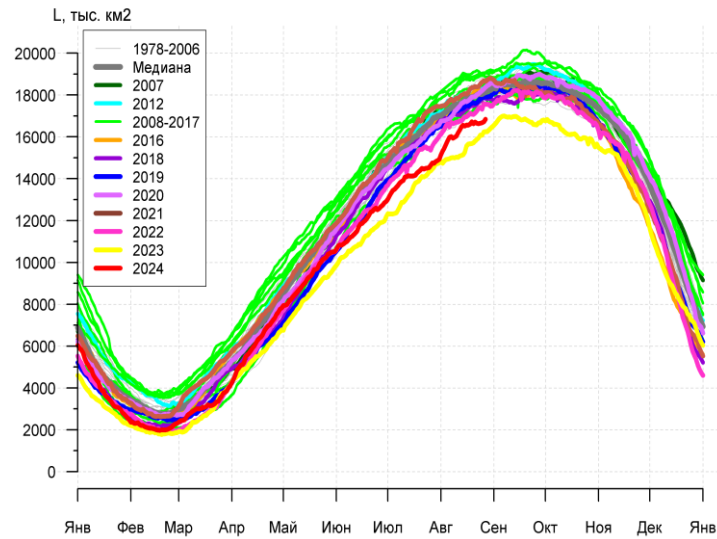


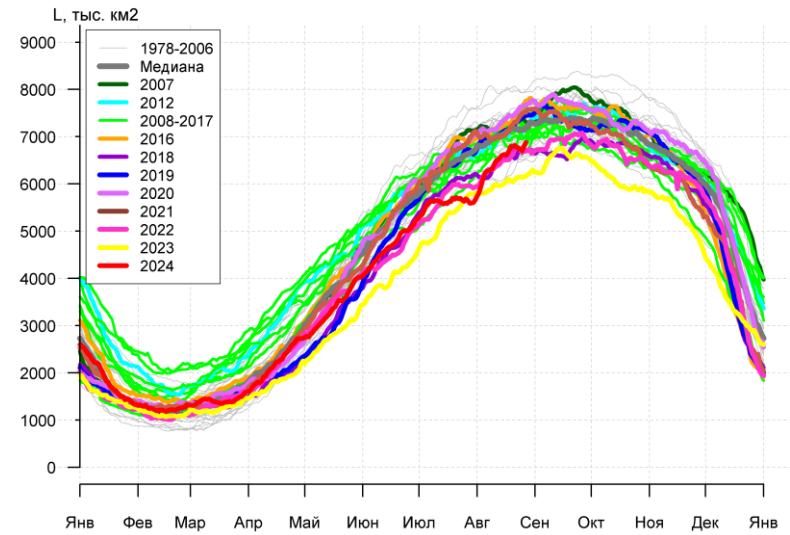
Рисунок 5в – Положение кромки льда и зон разреженных ($<8/10$) и сплоченных ($\geq 8/10$) льдов Южного океана за 27.08.2024 г. на основе ледового анализа Национального Ледового Центра США и повторяемость кромки за 26-31.08 за период 1991-2020 гг. по наблюдениям SSMR-SSM/I-SSMIS (алгоритм NASATEAM), совмещенное с положением разрежений на основе данных ИСЗ AMSR2 за 27.08.2024 (AWI, v110).

Таблица 4 – Линейные размеры крупных айсбергов Южного океана на основе анализа НЛЦ США за 15.08.2024 / Table 4 – Southern Ocean tabular icebergs linear dimensions based on US NIC analysis for 2024-08-15

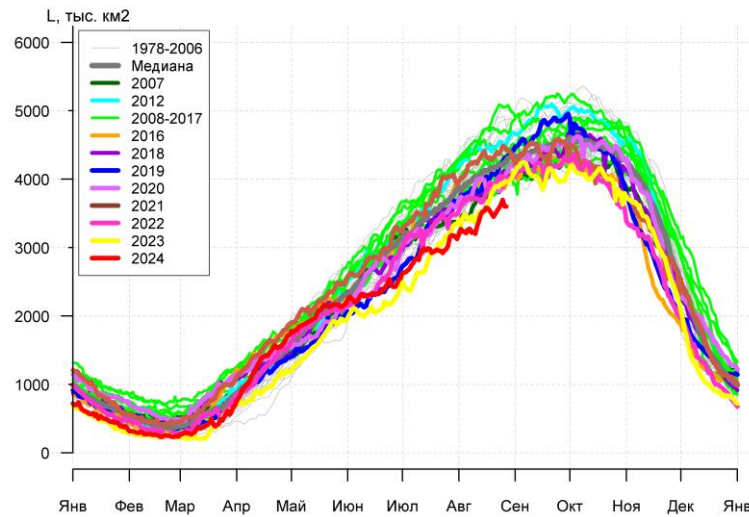
Имя/ Name	Длина/ Length км/km	Ширина/ Width км/km	Площадь/ Area кв.км/sq.km	Имя/ Name	Длина/ Length км/km	Ширина/ Width км/km	Площадь/ Area кв.км/sq.km
A23A	73.7	58.9	3690	B09G	22.1	12.9	162
D15A	93.9	40.5	3053	D32	16.6	11.1	132
B22A	60.8	47.9	1767	A82	22.1	11.1	128
A81	51.6	46.1	1349	D20A	25.8	9.2	123
A74A	55.3	33.2	1082	D23	12.9	11.1	123
D15B	58.9	22.1	847	B47	35.0	9.2	101
C36	42.4	29.5	811	B22G	16.6	9.2	95
B22F	40.5	27.6	701	B15AB	18.4	7.4	90
D33A	62.6	18.4	637	A76N	16.6	7.4	88
B09B	49.7	18.4	506	B39	14.7	7.4	78
D35	51.6	11.1	386	C30	16.6	5.5	77
A76C	29.5	12.9	350	B45	12.9	7.4	77
A83	36.8	12.9	338	A74B	14.7	7.4	76
A77	49.7	7.4	332	C33	20.3	7.4	75
D33B	38.7	22.1	322	C31	16.6	5.5	72
C21B	22.1	14.7	258	D36	20.3	9.2	67
D33C	27.6	12.9	227	C29	12.9	9.2	67
A76B	27.6	12.9	222	B29	20.3	9.2	65
C15	25.8	18.4	221	C24	20.3	5.5	62
C39	27.6	14.7	206	B38	11.1	7.4	61
C18B	36.8	7.4	206	C35	14.7	9.2	58
A80A	18.4	16.6	204	A80D	11.1	9.2	56
D34	20.3	14.7	174	C38B	14.7	12.9	48



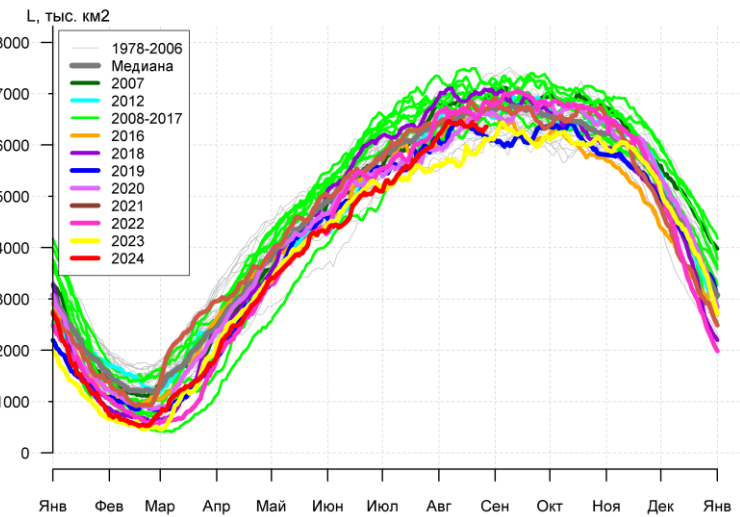
а)



б)



в)



г)

Рисунок 7а – Ежедневные оценки сезонного хода ледовитости Южного Океана и меридиональных секторов за период 26.10.1978 – 26.08.2024 по годам на основе расчетов по данным SSMR-SSM/I-SSMIS, алгоритм NASATEAM: а) Южный Океан, б) Атлантический сектор (60°W-30°E, море Уэдделла), в) Индоокеанский сектор (30°E-150°E, моря Космонавтов, Содружества, Моусона), г) Тихоокеанский сектор (150°E-60°W, моря Росса, Беллинсгаузена)

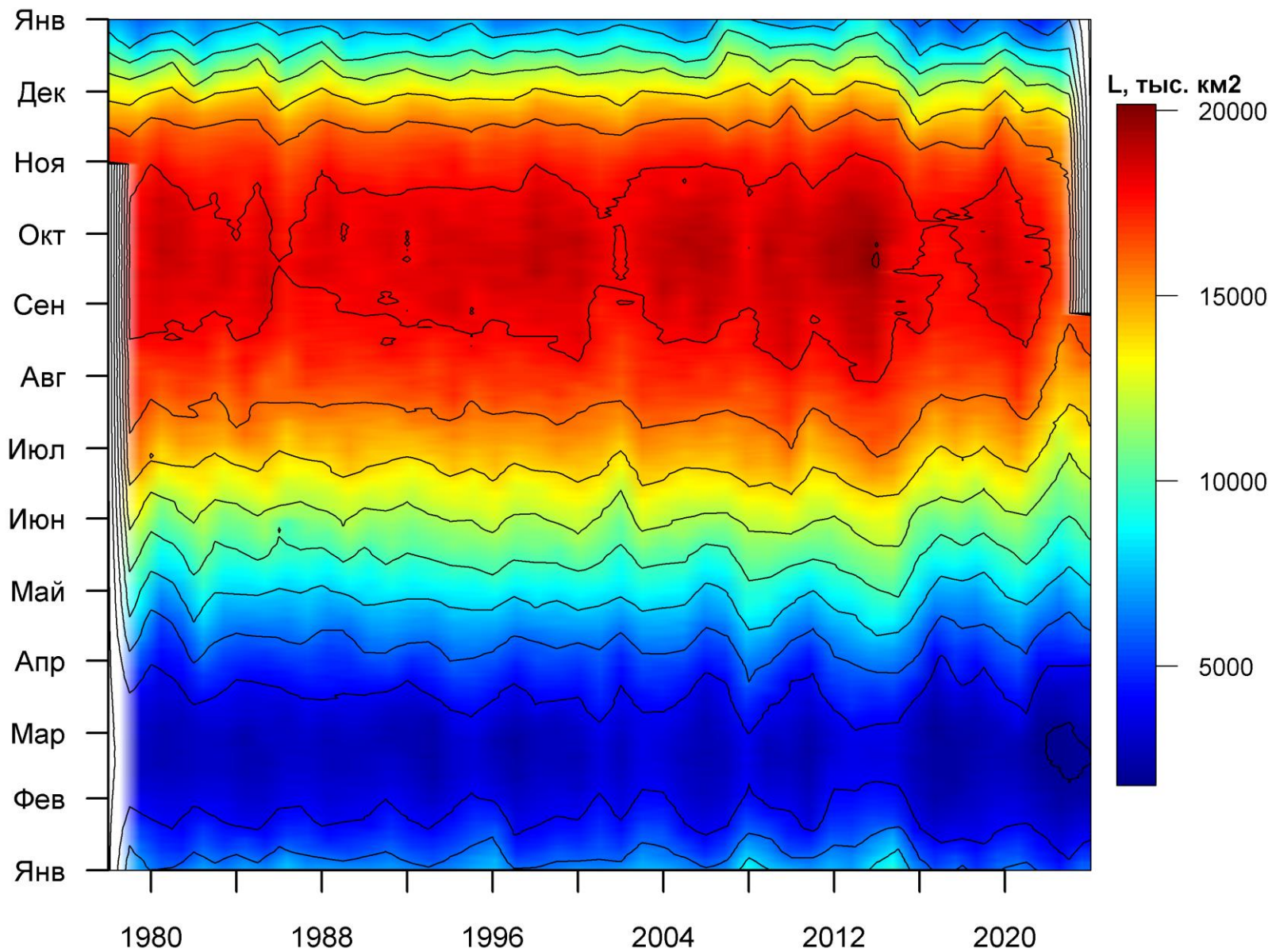


Рисунок 76 – Ежедневные оценки сезонных изменений ледовитости для Южного океана за период 26.10.1978 - 26.08.2024 на основе расчетов по данным SSMR-SSM/I-SSMIS, алгоритм NASATEAM.

Таблица 5 – Динамика изменения значений ледовитости по сравнению с предыдущей неделей для морей Южного океана за 19.08 - 25.08.2024 по данным наблюдений SSMR-SSM/I-SSMIS

Регион	Южный Океан	Атлантический сектор	Индокоеанский сектор	Тихоокеанский сектор
Разность	147.9	164.9	35.6	-52.6
тыс.кв.км/сут.	21.1	23.6	5.1	-7.5

Таблица 6 - Медианные значения ледовитости для Южного океана и 3 меридиональных секторов за текущие 30 и 7-дневные интервалы и её аномалии от 2019-2023 гг. и интервалов 2014-2024 гг. и 1978-2024 гг. по данным наблюдений SSMR-SSM/I

Южный Океан								
Месяц	S, тыс. км2	Аномалии, тыс км2/%						
		2019 г	2020 г	2021 г	2022 г	2023 г	2014-2024гг	1978-2024гг
26.07-25.08	15956.3	-1143.6	-1309.7	-1924.5	-665.6	777.2	-1102.0	-1444.0
		-6.7	-7.6	-10.8	-4.0	5.1	-6.5	-8.3
19-25.08	16666.9	-1033.2	-1358.1	-1767.3	-568.2	782.0	-973.2	-1264.1
		-5.8	-7.5	-9.6	-3.3	4.9	-5.5	-7.1
Атлантический сектор (60°W-30°E, море Уэдделла)								
Месяц	S, тыс. км2	Аномалии, тыс км2/%						
		2019 г	2020 г	2021 г	2022 г	2023 г	2014-2024гг	1978-2024гг
26.07-25.08	6297.5	-707.3	-932.9	-786.3	-27.5	364.9	-456.3	-592.7
		-10.1	-12.9	-11.1	-0.4	6.2	-6.8	-8.6
19-25.08	6767.5	-531.2	-758.5	-570.8	75.0	661.3	-237.2	-316.5
		-7.3	-10.1	-7.8	1.1	10.8	-3.4	-4.5
Индокоеанский сектор (30°E-150°E, моря Космонавтов, Содружества, Моусона)								
Месяц	S, тыс. км2	Аномалии, тыс км2/%						
		2019 г	2020 г	2021 г	2022 г	2023 г	2014-2024гг	1978-2024гг
26.07-25.08	3354.7	-516.9	-448.9	-857.6	-362.6	-176.5	-505.9	-661.0
		-13.4	-11.8	-20.4	-9.8	-5.0	-13.1	-16.5
19-25.08	3554.0	-582.4	-328.2	-818.6	-396.8	-329.6	-520.3	-687.2
		-14.1	-8.5	-18.7	-10.0	-8.5	-12.8	-16.2
Тихоокеанский сектор (150°E-60°W, моря Росса, Беллингаузена)								
Месяц	S, тыс. км2	Аномалии, тыс км2/%						
		2019 г	2020 г	2021 г	2022 г	2023 г	2014-2024гг	1978-2024гг
26.07-25.08	6304.1	80.5	72.1	-280.6	-275.5	588.7	-139.8	-190.4
		1.3	1.2	-4.3	-4.2	10.3	-2.2	-2.9
19-25.08	6345.4	80.5	-271.4	-377.9	-246.4	450.3	-215.7	-260.5
		1.3	-4.1	-5.6	-3.7	7.6	-3.3	-3.9

Таблица 7 – Экстремальные значения ледовитости для Южного океана и 3 меридиональных секторов за текущий 7-дневный интервал по Южный Океан

Южный Океан				
Месяц	Минимальное знач.	Максимальное знач.	Среднее знач.	Медиана
19-25.08	15677.3 19.08.2023	19171.9 22.08.2014	17931.0	17957.6
Атлантический сектор (60°W-30°E, море Уэдделла)				
Месяц	Минимальное знач.	Максимальное знач.	Среднее знач.	Медиана
19-25.08	6045.8 20.08.2023	8071.6 21.08.1980	7084.0	7149.0
Индокоеанский сектор (30°E-150°E, моря Космонавтов, Содружества, Моусона)				
Месяц	Минимальное знач.	Максимальное знач.	Среднее знач.	Медиана
19-25.08	3453.4 20.08.2024	5089.5 23.08.2014	4241.1	4189.7
Тихоокеанский сектор (150°E-60°W, моря Росса, Беллингаузена)				
Месяц	Минимальное знач.	Максимальное знач.	Среднее знач.	Медиана
19-25.08	5814.1 19.08.2023	7493.3 20.08.2013	6605.9	6624.0

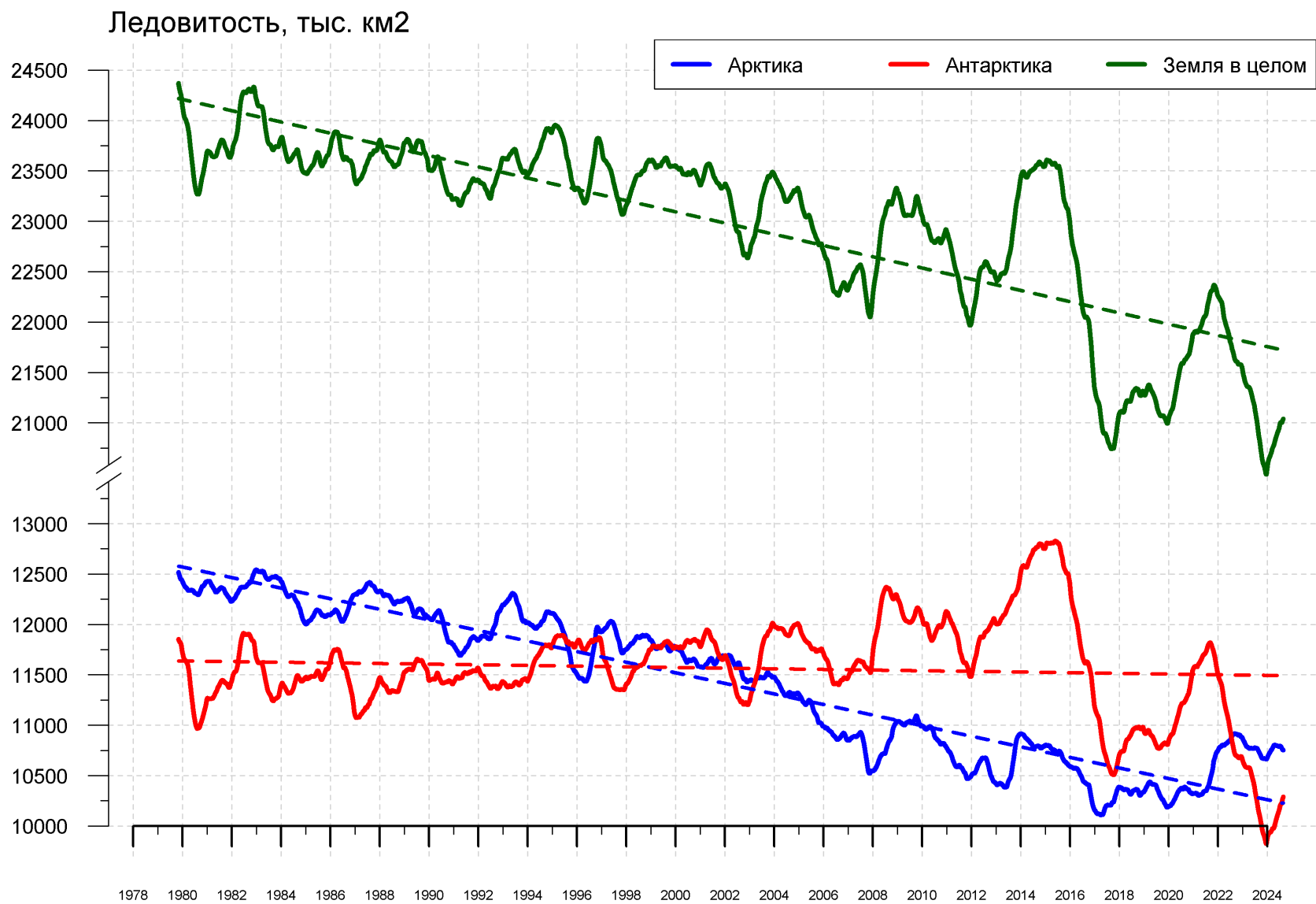


Рисунок 9 – Ежедневные сглаженные окном 365 суток значения ледовитости (площади распространения морского льда) Арктики, Антарктики и Земли в целом с 26.10.1978 по 26.08.2024 на основе SSMR-SSM/I-SSMIS

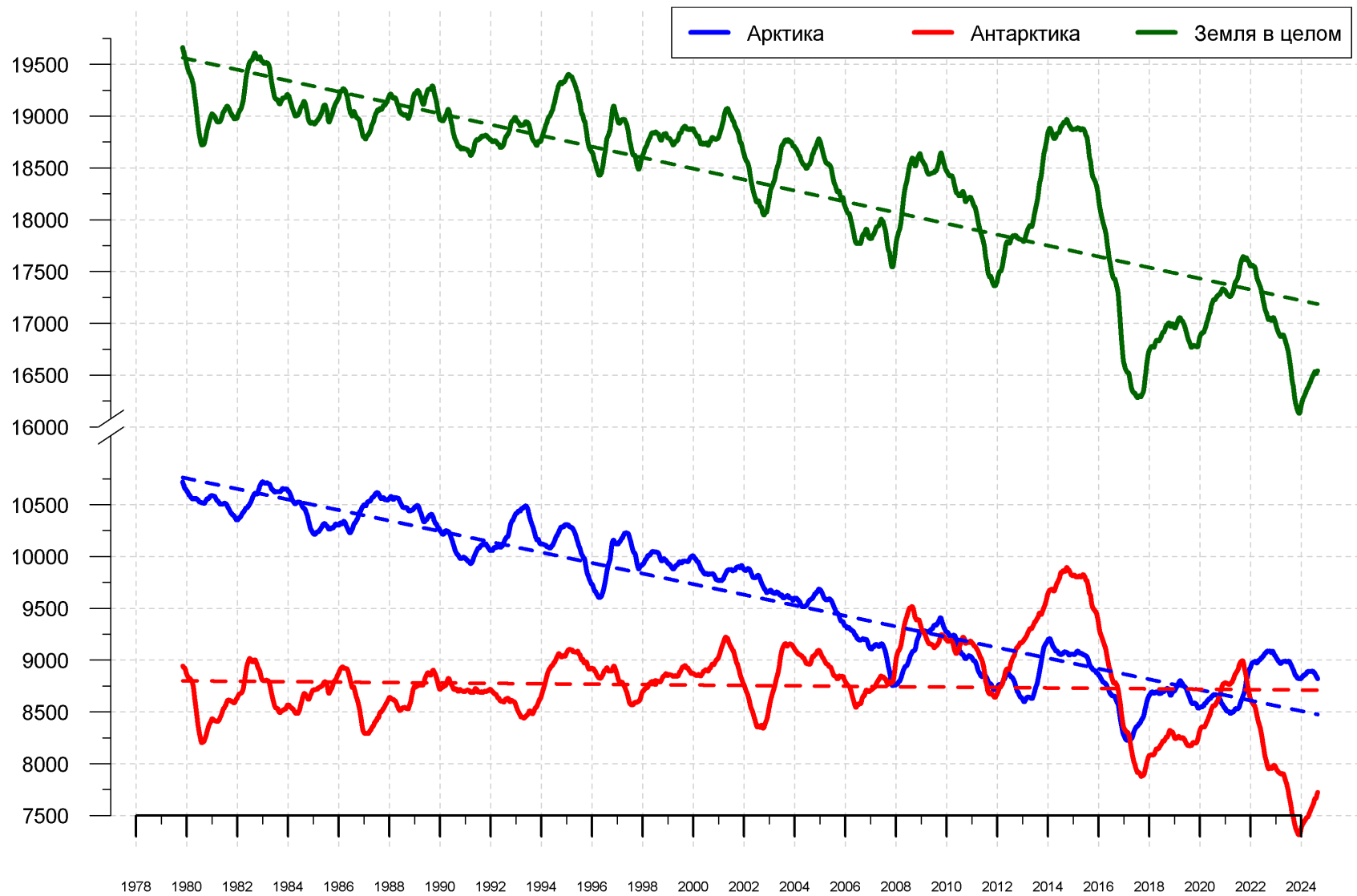


Рисунок 10 – Ежедневные сглаженные окном 365 суток значения приведенной ледовитости (площади морского льда) Арктики, Антарктики и Земли в целом с 25.10.1978 по 26.08.2024 на основе SSMR-SSM/I-SSMIS

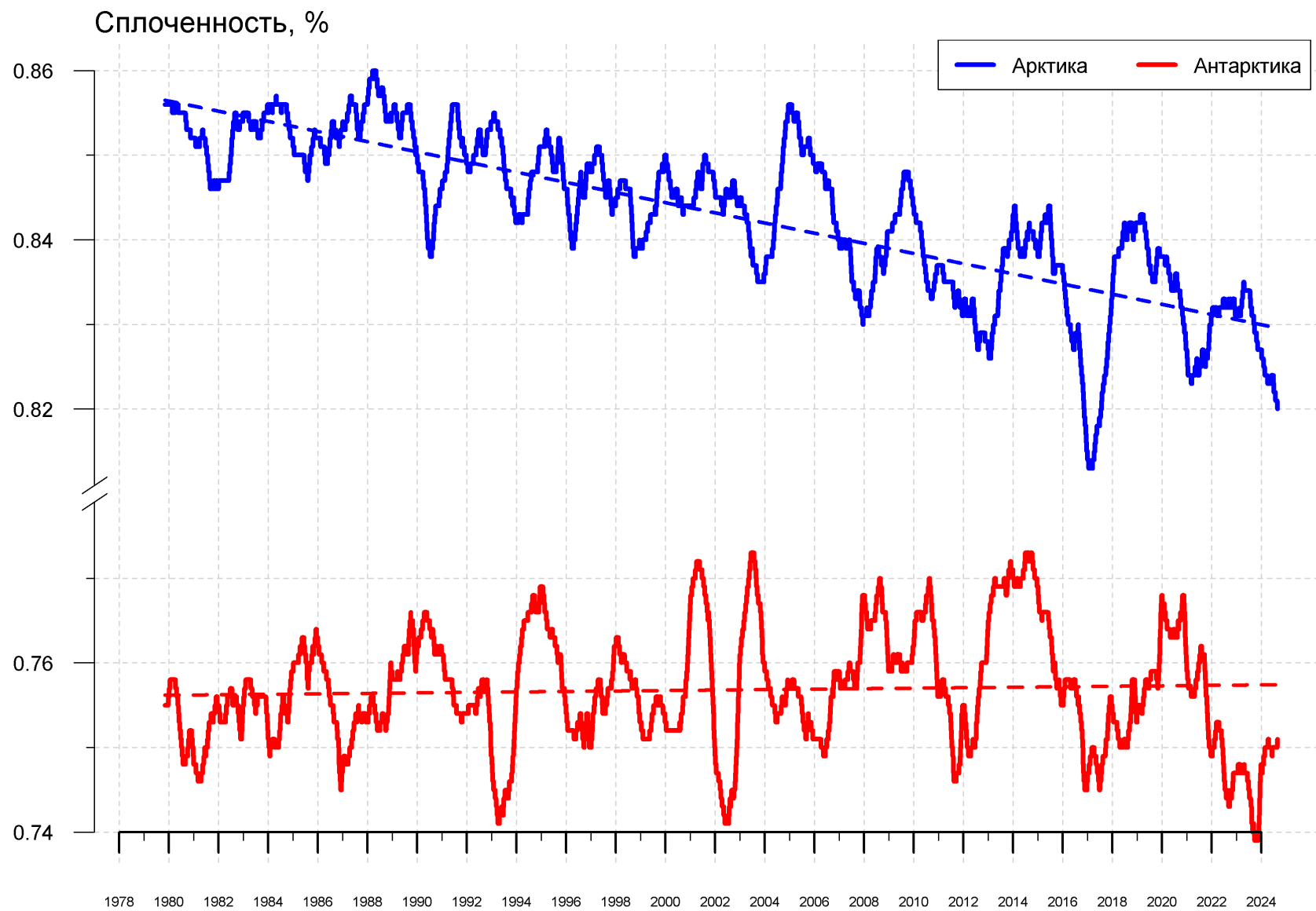


Рисунок 11 – Ежедневные сглаженные окном 365 суток значения средней общей сплоченности Арктики и Антарктики с 07.11.1978 по 26.08.2024 на основе SSMR-SSM/I-SSMIS

Приложение 1 – Статистические значения ледовитостей по отдельным акваториям Северной Полярной Области и Южного океана

Таблица 8 – Средние, аномалии среднего и экстремальные значения ледовитостей для Северной и Южной полярных областей и её отдельных акваторий за текущие 7-дневный (неделя) и 30-дневный промежутки времени по данным наблюдений SSMR-SSM/I-SSMIS, алгоритм NASATEAM за период 1978-2024 гг. 19-25.08

Регион	S, тыс. км2	Аномалии, тыс км2/%							1978-2024гг			
		2007 г	2012 г	2020 г	2022 г	2023 г	2014-2024гг	1978-2024гг	Минимум дата	Максимум дата	Среднее	Медиана
Сев. полярная область	5043.6	103.3	705.8	230.7	-731.7	-167.4	-202.5	-1371.5	4102.6	8083.3	6415.1	6522.2
		2.1	16.3	4.8	-12.7	-3.2	-3.9	-21.4	25.08.2012	20.08.1996		
Сектор 45°W-95°E	942.4	-541.5	-350.2	-83.5	-309.4	-474.7	-255.6	-553.5	896.8	2183.2	1495.9	1448.2
		-36.5	-27.1	-8.1	-24.7	-33.5	-21.3	-37.0	25.08.2018	19.08.1981		
Гренландское море	93.5	-273.8	-243.8	-173.9	-198.8	-158.1	-111.2	-191.9	77.2	565.5	285.4	282.0
		-74.6	-72.3	-65.0	-68.0	-62.8	-54.3	-67.2	24.08.2002	19.08.1981		
Баренцево море	4.8	-29.6	-1.4	-0.7	-7.0	-25.6	-22.6	-57.6	0.7	241.5	62.5	41.3
		-85.9	-22.8	-13.3	-59.0	-84.1	-82.4	-92.2	20.08.2000	25.08.1982		
Карское море	15.2	-71.2	3.5	-2.6	-31.1	-102.7	-37.2	-176.4	4.4	512.9	191.6	155.6
		-82.4	29.9	-14.5	-67.2	-87.1	-71.0	-92.1	21.08.2018	19.08.1980		
Сектор 95°E-170°W	1922.3	869.1	691.7	745.6	34.6	375.9	338.4	-178.3	1010.7	2993.0	2100.7	2047.0
		82.5	56.2	63.4	1.8	24.3	21.4	-8.5	25.08.2007	19.08.1996		
Море Лаптевых	155.6	-77.7	97.9	147.6	-36.6	-121.9	26.7	-94.5	7.0	571.0	250.1	232.3
		-33.3	169.4	1845.4	-19.1	-43.9	20.7	-37.8	19.08.2021	24.08.1996		
Восточно-Сибирское море	182.3	179.4	117.3	175.6	-147.3	107.3	12.5	-227.6	0.6	863.2	409.9	383.0
		6124.9	180.6	2609.3	-44.7	143.2	7.4	-55.5	24.08.2007	19.08.1996		
Чукотское море	169.4	167.3	89.9	167.8	127.1	149.1	115.5	39.5	0.0	384.6	129.9	118.0
		7966.7	113.0	10487.5	300.5	736.2	214.0	30.4	23.08.2009	20.08.1988		
Берингово море	5.2	5.2	5.2	1.4	-0.4	-0.4	1.1	4.2	0.0	12.5	1.0	0.0
		-	-	38.7	-7.4	-7.7	28.4	436.0	19.08.1979	24.08.2015		
Сектор 170°W-45°W	2178.9	-224.2	364.4	-431.4	-456.9	-68.5	-285.2	-639.6	1753.9	3618.1	2818.5	2925.4
		-9.3	20.1	-16.5	-17.3	-3.0	-11.6	-22.7	25.08.2012	19.08.1983		
Море Бофорта	22.4	-149.1	0.2	-246.8	-219.8	-57.3	-136.3	-219.7	10.9	478.5	242.1	253.8
		-86.9	0.9	-91.7	-90.8	-71.9	-85.9	-90.8	20.08.2024	25.08.1991		
Гудзонов залив	30.1	9.4	2.9	-3.4	-6.6	-11.0	-1.4	-5.4	10.4	108.0	35.5	31.6
		45.2	10.5	-10.0	-17.9	-26.7	-4.3	-15.1	22.08.2010	23.08.1980		
Море Лабрадор	1.8	-0.5	1.8	1.3	1.1	1.3	-0.1	-1.6	0.0	20.5	3.4	2.2
		-21.2	-	296.8	151.0	261.8	-3.4	-48.1	19.08.1997	25.08.1986		
Дейвисов пролив	23.7	0.1	7.0	3.8	-3.8	-5.2	0.8	-5.7	7.8	159.5	29.4	23.6
		0.3	42.3	19.4	-13.9	-17.9	3.6	-19.5	20.08.2002	19.08.1983		
Канадский архипелаг	293.2	-32.3	-48.7	-196.6	-54.1	-25.1	-146.5	-231.4	216.4	857.1	524.6	540.1
		-9.9	-14.2	-40.1	-15.6	-7.9	-33.3	-44.1	25.08.2011	20.08.1992		

26.07-25.08

Регион	S, тыс. км2	Аномалии, тыс км2/%							1978-2024гг			
		2007 г	2012 г	2020 г	2022 г	2023 г	2014-2024гг	1978-2024гг	Минимум дата	Максимум дата	Среднее	Медиана
Сев. полярная область	5797.0	31.2	319.4	165.4	-691.5	-349.5	-203.2	-1340.4	4102.6	9681.6	7137.4	7208.0
		0.5	5.8	2.9	-10.7	-5.7	-3.4	-18.8	25.08.2012	26.07.1983		
Сектор 45°W-95°E	1104.2	-471.9	-240.8	-91.8	-191.9	-448.0	-205.3	-553.1	896.8	2642.7	1657.3	1616.6
		-29.9	-17.9	-7.7	-14.8	-28.9	-15.7	-33.4	25.08.2018	26.07.1981		
Гренландское море	160.2	-222.8	-202.1	-151.7	-129.9	-155.5	-86.1	-171.5	77.2	588.9	331.7	326.9
		-58.2	-55.8	-48.6	-44.8	-49.3	-35.0	-51.7	24.08.2002	03.08.1981		
Баренцево море	7.6	-39.6	-2.8	-3.9	-5.9	-34.5	-25.6	-80.6	0.6	397.5	88.2	68.4
		-83.9	-27.1	-34.0	-43.6	-81.9	-77.1	-91.4	11.08.2024	26.07.1982		
Карское море	26.4	-164.0	1.9	-21.1	-40.5	-149.6	-59.2	-240.9	4.4	801.0	267.3	224.4
		-86.1	7.9	-44.5	-60.6	-85.0	-69.2	-90.1	21.08.2018	27.07.1999		
Сектор 95°E-170°W	2137.6	714.6	332.1	724.8	-3.4	214.9	261.3	-213.2	1010.7	3238.2	2350.8	2376.5
		50.2	18.4	51.3	-0.2	11.2	13.9	-9.1	25.08.2007	26.07.1979		
Море Лаптевых	147.8	-97.9	37.2	130.6	-63.2	-126.7	-19.4	-161.5	7.0	661.5	309.3	287.4
		-39.8	33.7	760.5	-29.9	-46.2	-11.6	-52.2	17.08.2021	29.07.2004		
Восточно-Сибирское море	355.1	297.3	47.2	284.0	-123.9	59.3	50.4	-168.5	0.6	914.5	523.6	516.9
		514.0	15.3	399.7	-25.9	20.0	16.5	-32.2	24.08.2007	26.07.1994		
Чукотское море	236.5	225.2	34.8	175.6	142.8	173.9	141.1	57.5	0.0	458.3	179.0	179.6
		1996.1	17.2	288.4	152.4	277.8	148.0	32.1	23.08.2009	26.07.1983		
Берингово море	8.2	7.2	7.3	1.3	0.7	-1.0	2.0	5.9	0.0	32.9	2.4	0.0
		733.3	823.9	18.6	8.9	-11.2	31.6	249.9	01.08.1981	29.07.2023		
Сектор 170°W-45°W	2555.2	-211.5	228.1	-467.7	-496.1	-116.4	-259.2	-574.1	1753.9	4432.8	3129.3	3166.0
		-7.6	9.8	-15.5	-16.3	-4.4	-9.2	-18.3	25.08.2012	26.07.1992		
Море Бофорта	72.8	-145.1	8.8	-236.1	-209.0	-42.9	-128.5	-201.3	10.9	485.9	274.1	285.4
		-66.6	13.7	-76.4	-74.2	-37.1	-63.8	-73.4	20.08.2024	26.07.2000		
Гудзонов залив	42.0	19.0	11.5	6.6	0.5	2.2	6.5	-4.4	4.8	415.2	46.4	36.6
		83.0	38.0	18.7	1.3	5.6	18.3	-9.5	10.08.1995	27.07.1992		
Море Лабрадор	4.6	1.8	3.3	2.4	2.6	2.9	0.8	0.2	0.0	50.1	4.4	3.3
		61.7	244.8	105.9	124.3	175.2	20.7	3.8	27.07.1997	27.07.1991		
Дейвисов пролив	29.3	0.6	2.3	0.7	-36.1	-14.2	-13.8	-29.4	6.1	264.8	58.7	35.7
		2.1	8.4	2.6	-55.1	-32.6	-31.9	-50.0	09.08.2010	30.07.1983		
Канадский архипелаг	401.2	-132.9	-66.2	-168.4	-125.7	-76.0	-157.7	-250.5	216.4	1055.1	651.7	668.3
		-24.9	-14.2	-29.6	-23.8	-15.9	-28.2	-38.4	25.08.2011	26.07.1983		

19-25.08

Регион	S, тыс. км2	Аномалии, тыс км2/%							1978-2024гг			
		2007 г	2012 г	2020 г	2022 г	2023 г	2014-2024гг	1978-2024гг	Минимум дата	Максимум дата	Среднее	Медиана
Южный Океан	16666.9	-1036.5	-1511.6	-1358.1	-568.2	782.0	-973.2	-1264.1	15677.3	19171.9	17931.0	17957.6
		-5.9	-8.3	-7.5	-3.3	4.9	-5.5	-7.1	19.08.2023	22.08.2014		
Атлантический сектор	6767.5	-546.2	-341.2	-758.5	75.0	661.3	-237.2	-316.5	6045.8	8071.6	7084.0	7149.0
		-7.5	-4.8	-10.1	1.1	10.8	-3.4	-4.5	20.08.2023	21.08.1980		
Западная часть моря Уэдделла	2897.8	414.7	608.3	318.7	577.4	603.5	414.3	411.8	2145.8	3211.3	2486.0	2454.4
		16.7	26.6	12.4	24.9	26.3	16.7	16.6	19.08.1983	19.08.1980		
Восточная часть моря Уэдделла	3869.7	-960.9	-949.5	-1077.2	-502.4	57.8	-651.5	-728.3	3698.3	5434.0	4598.0	4627.9
		-19.9	-19.7	-21.8	-11.5	1.5	-14.4	-15.8	20.08.2023	25.08.1992		
Индоокеанский сектор	3554.0	-269.6	-938.3	-328.2	-396.8	-329.6	-520.3	-687.2	3453.4	5089.5	4241.1	4189.7
		-7.1	-20.9	-8.5	-10.0	-8.5	-12.8	-16.2	20.08.2024	23.08.2014		
Море Космонавтов	748.7	-161.7	-390.6	-338.2	-262.4	-166.4	-305.4	-339.7	736.4	1492.3	1088.4	1090.6
		-17.8	-34.3	-31.1	-26.0	-18.2	-29.0	-31.2	20.08.2024	25.08.2010		
Море Содружества	1347.0	-87.6	-118.2	88.0	120.9	65.6	20.1	-91.3	1032.3	1784.3	1438.3	1425.9
		-6.1	-8.1	7.0	9.9	5.1	1.5	-6.3	20.08.2017	25.08.2006		
Море Моусона	1458.3	-20.2	-429.5	-78.0	-255.3	-228.8	-235.0	-256.1	1385.3	2295.3	1714.4	1683.8
		-1.4	-22.7	-5.1	-14.9	-13.6	-13.9	-14.9	25.08.2002	24.08.1982		
Тихоокеанский сектор	6345.4	-220.7	-232.1	-271.4	-246.4	450.3	-215.7	-260.5	5814.1	7493.3	6605.9	6624.0
		-3.4	-3.5	-4.1	-3.7	7.6	-3.3	-3.9	19.08.2023	20.08.2013		
Море Росса	5278.6	-270.7	-156.8	-314.6	-770.8	675.6	-101.1	-150.5	4494.3	6119.6	5429.2	5443.5
		-4.9	-2.9	-5.6	-12.7	14.7	-1.9	-2.8	19.08.1980	24.08.2010		
Море Беллинсгаузена	1066.7	50.0	-75.4	43.2	524.4	-225.3	-114.7	-110.0	433.4	1612.5	1176.7	1175.7
		4.9	-6.6	4.2	96.7	-17.4	-9.7	-9.3	22.08.2022	23.08.2015		

26.07-25.08

Регион	S, тыс. км2	Аномалии, тыс км2/%							1978-2024гг			
		2007 г	2012 г	2020 г	2022 г	2023 г	2014-2024гг	1978-2024гг	Минимум дата	Максимум дата	Среднее	Медиана
Южный Океан	15956.3	-1516.1	-1803.0	-1309.7	-665.6	777.2	-1102.0	-1444.0	14371.1	19171.9	17400.3	17469.4
		-8.7	-10.2	-7.6	-4.0	5.1	-6.5	-8.3	26.07.2023	22.08.2014		
Атлантический сектор	6297.5	-878.2	-556.9	-932.9	-27.5	364.9	-456.3	-592.7	5593.4	8079.9	6890.2	6931.7
		-12.2	-8.1	-12.9	-0.4	6.2	-6.8	-8.6	28.07.2024	08.08.1992		
Западная часть моря Уэдделла	2810.3	233.1	472.9	297.1	503.7	481.2	375.3	336.0	2067.9	3226.4	2474.3	2431.6
		9.0	20.2	11.8	21.8	20.7	15.4	13.6	13.08.1983	17.08.1980		
Восточная часть моря Уэдделла	3487.2	-1111.3	-1029.8	-1230.0	-531.2	-116.3	-831.6	-928.7	3012.1	5434.0	4415.9	4478.9
		-24.2	-22.8	-26.1	-13.2	-3.2	-19.3	-21.0	28.07.2024	25.08.1992		
Индоокеанский сектор	3354.7	-255.4	-998.5	-448.9	-362.6	-176.5	-505.9	-661.0	3022.3	5089.5	4015.6	4021.4
		-7.1	-22.9	-11.8	-9.8	-5.0	-13.1	-16.5	26.07.2024	23.08.2014		
Море Космонавтов	651.4	-185.3	-466.4	-368.4	-350.1	-156.9	-315.0	-352.7	440.3	1492.3	1004.1	1011.4
		-22.1	-41.7	-36.1	-35.0	-19.4	-32.6	-35.1	26.07.2024	25.08.2010		
Море Содружества	1271.2	-99.6	-132.1	44.1	42.0	136.1	1.8	-100.0	930.0	1784.3	1371.3	1370.9
		-7.3	-9.4	3.6	3.4	12.0	0.1	-7.3	08.08.1979	25.08.2006		
Море Моусона	1432.0	29.6	-400.0	-124.6	-54.5	-155.7	-192.7	-208.2	1155.6	2295.3	1640.2	1637.2
		2.1	-21.8	-8.0	-3.7	-9.8	-11.9	-12.7	27.07.2018	24.08.1982		
Тихоокеанский сектор	6304.1	-382.5	-247.7	72.1	-275.5	588.7	-139.8	-190.4	5485.9	7493.3	6494.5	6503.0
		-5.7	-3.8	1.2	-4.2	10.3	-2.2	-2.9	30.07.1980	20.08.2013		
Море Росса	5088.4	-540.7	-336.6	-227.7	-808.8	525.5	-239.3	-280.6	3986.2	6119.6	5369.0	5398.7
		-9.6	-6.2	-4.3	-13.7	11.5	-4.5	-5.2	01.08.1980	24.08.2010		
Море Беллинсгаузена	1215.7	158.2	89.0	299.7	533.2	63.2	99.5	90.2	433.4	1662.0	1125.4	1129.7
		15.0	7.9	32.7	78.1	5.5	8.9	8.0	22.08.2022	03.08.1995		

Таблица 10 – Динамика изменения значений ледовитости по сравнению с предыдущей неделей для морей Северной полярной области и Южного океана за текущий 7-дневный (неделя) промежуток времени по данным наблюдений SSMIS

19-25.08				
Регион	Сев. полярная область	Сектор 45°W-95°E	Гренландское море	Баренцево море
Разность	-373.5	-63.6	-20.4	0.8
тыс.кв.км/сут.	-53.4	-9.1	-2.9	0.1

19-25.08				
Регион	Карское море	Сектор 95°E-170°W	Море Лаптевых	Восточно-Сибирское море
Разность	-0.1	-147.5	4.6	-118.0
тыс.кв.км/сут.	0.0	-21.1	0.7	-16.9

19-25.08				
Регион	Чукотское море	Берингово море	Сектор 170°W-45°W	Море Бофорта
Разность	-38.0	0.2	-162.3	-42.7
тыс.кв.км/сут.	-5.4	0.0	-23.2	-6.1

19-25.08				
Регион	Гудзонов залив	Море Лабрадор	Дейвисов пролив	Канадский архипелаг
Разность	0.4	-0.7	2.2	-41.8
тыс.кв.км/сут.	0.1	-0.1	0.3	-6.0

19-25.08				
Регион	Южный Океан	Атлантический сектор	Западная часть моря Уэдделла	Восточная часть моря Уэдделла
Разность	147.9	164.9	-70.3	235.2
тыс.кв.км/сут.	21.1	23.6	-10.0	33.6

19-25.08				
Регион	Индоокеанский сектор	Море Космонавтов	Море Содружества	Море Моусона
Разность	35.6	-12.5	68.7	-20.6
тыс.кв.км/сут.	5.1	-1.8	9.8	-2.9

19-25.08				
Регион	Тихоокеанский сектор	Море Росса	Море Беллинсгаузена	
Разность	-52.6	92.5	-145.1	
тыс.кв.км/сут.	-7.5	13.2	-20.7	

Характеристика исходного материала и методика расчетов

Для иллюстрации ледовых условий Арктического региона представлены совмещенные региональные карты ААНИИ [4, 6], Канадской ледовой службы – КЛС [12], Национального ледового центра США – НЛЦ [10], Ледовой службы отделения Аляска НОАА [23] и НИЦ Планета [9]. Совмещение карт выполнено путем перекрытия слоев отдельных ледовых служб в зависимости от времени ледового анализа. Карты ААНИИ характеризуют ледовые условия морей Гренландского...Бофорта, карты НИЦ Планета – Азовского, Каспийского, Берингова, Охотского, Японского, карты НЛЦ – Северных частей Тихого и Атлантического океанов и Арктического бассейна, вод Гренландии, Ледовой службы отделения Аляска НОАА – Берингово, Чукотское моря, КЛС - морей Бофорта, Канадского архипелага, Баффина, Девисова пролива, Лабрадор, Св. Лаврентия. Для ледовых условий и распределения айсбергов Южного океана использованы данные проекта по интегрированному ледовому анализу Южного океана – циркумполярные карты ААНИИ [5, 7], НЛЦ [10, 11] и карты акватории Антарктического полуострова Норвежского метеорологического института (НМИ) [21]. Для построения совмещенных карт используется архив данных в обменном формате ВМО СИГРИД-3 [18] Мирового центра данных по морскому льду (МЦД МЛ) – проекта ВМО «Глобальный Банк Цифровых Данных по Морскому Льду». В пределах отдельного срока выборка карт из архива проводится по критериям близости карт к сроку выпуска карты ААНИИ с максимальным интервалом времени между картами до 7 суток (день недели выпуска карт ААНИИ – вторник, Ледовой службы отделения Аляска НОАА – ежедневно, НИЦ Планета – понедельник-четверг, КЛС – понедельник, НЛЦ – четверг для морского льда и четверг/пятница – для крупных айсбергов Южного океана, НМИ - понедельник).

Для иллюстрации полей толщин льда СЛО использованы ежедневные данные по распределению средневзвешенной толщины льда численной модели НУСОМ-СІСЕ Датского метеорологического института (ДМИ) [20]. Численная модель НУСОМ-СІСЕ имеет разрешение 10x10 км и является совместной моделью морского льда – океана. Портал полярных данных ДМИ [22] используется также как источник данных по оценке объема льда СЛО, температуры поверхности океана/морского льда, аномалий температуры воздуха и поля приземного ветра.

Для иллюстрации ледовых условий Северной Полярной области и Южного океана за последние сутки используются ежедневные циркумполярные ледовые информационные продукты НЛЦ США по оценке расположения кромки льда и ледяных массивов - MIZ (Marginal Ice Zone).

Для цветовой окраски карт использован стандарт ВМО (WMO/Td. 1215) [19] для зимнего (по возрасту) и летнего (по общей сплоченности) периодов. Следует также отметить, что в зонах стыковки карт ААНИИ, Ледовой службы отделения Аляска НОАА, КЛС и НЛЦ наблюдается определенная несогласованность границ и характеристик ледовых зон вследствие ряда различий в ледовых информационных системах подготавливающих служб. Однако, данная несогласованность не существенна для целей интерпретации ледовых условий в рамках настоящего обзора.

Для оценки распределения толщин льда в морях СМП использованы совмещенные недельные данные дистанционного зондирования ИСЗ Cryosat-2 (радиолокационная альтиметрия) и SMOS (пассивное микроволновое зондирование), подготавливаемые Институтом полярных исследований им. А.Вегенера (AWI) [24].

Для получения оценок ледовитости (extent) и приведенной ледовитости – площади льда (area) отдельных секторов, морей, частей морей Северной полярной области и Южного океана и климатического положения кромок заданной повторяемости на основе данных спутниковых систем пассивного микроволнового зондирования SSMR-SSM/I-SSMIS [17] в МЦД МЛ ААНИИ принята следующая технология расчетов:

- источник данных – архивные (Cavaliere et al., 2008, Meier et al., 2006) и квазиоперативные (Maslanik and Stroeve, 1999) с задержкой 1-2 дня ежедневные матрицы (поля распределения) оценок общей сплоченности Северной (севернее 45° с.ш.) и Южной (южнее 50° с.ш.) Полярных областей на основе обработанных по алгоритму NASATEAM

данных многоканальных микроволновых радиометров SSMR-SSM/I-SSMIS ИСЗ NIMBUS-7 и DMSP за период с 26.10.1978 г. по настоящий момент времени [13, 14, 15], копируемые с сервера НЦДСЛ;

- область расчета – Северная и Южная Полярные области и их регионы с использованием масок океан/суша НЦДСЛ (http://nsidc.org/data/polar_stereo/tools_masks.html);
- границы используемых масок расчета отдельных меридиональных секторов, морей, частей морей Северной полярной области и Южного океана представлены на рисунках П1 – П6 в полярной равноплощадной проекции Ламберта [26], не совпадают с используемыми в НЦДСЛ масками для отдельных акваторий Мирового океана и основаны на цифровой основе Международной гидрографической организации [25], повторяющей по номенклатуре, но не совпадающей по границам (вследствие отсутствия цифросновы) публикациям «Атлас Северного ледовитого океана (1980)» и «Атлас океанов» [1, 2, 3].
- вычислительные особенности расчета – авторское программное обеспечение ААНИИ с сохранением точности расчетов и оценке статистических параметров по гистограмме распределения и свободно-распространяемое программное обеспечение GDAL для векторизации полей климатических параметров;

В графическом формате PNG совмещенные карты ААНИИ-КЛС-НЛЦ Ледовой службы отделения Аляска НОАА доступны по адресу <http://wdc.aari.ru/datasets/d0040>.

Результаты расчетов ледовитости Северной, Южной полярных областей, их отдельных меридиональных секторов, морей и частей морей доступны на сервере МЦД МЛ ААНИИ в каталогах соответственно <http://wdc.aari.ru/datasets/ssmi/data/north/extent/> и <http://wdc.aari.ru/datasets/ssmi/data/south/extent/>.

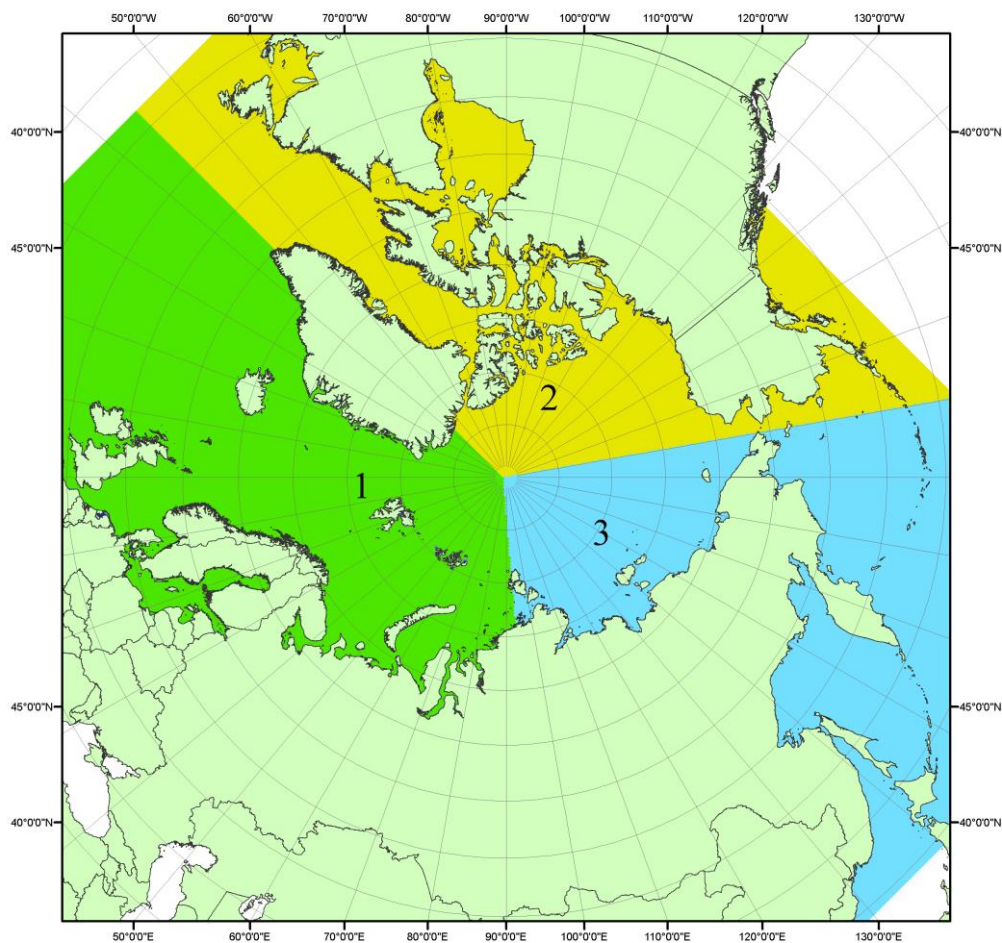


Рисунок П1 – Секторальное деление северной полярной области. 1 - Сектор 45°W-95°E (Гренландское - Карское моря); 2 - Сектор 170°W-45°W (море Бофорта и Канадская Арктика); 3 - Сектор 95°E-170°W (моря Лаптевых - Чукотское, Берингово, Охотское, Японское)

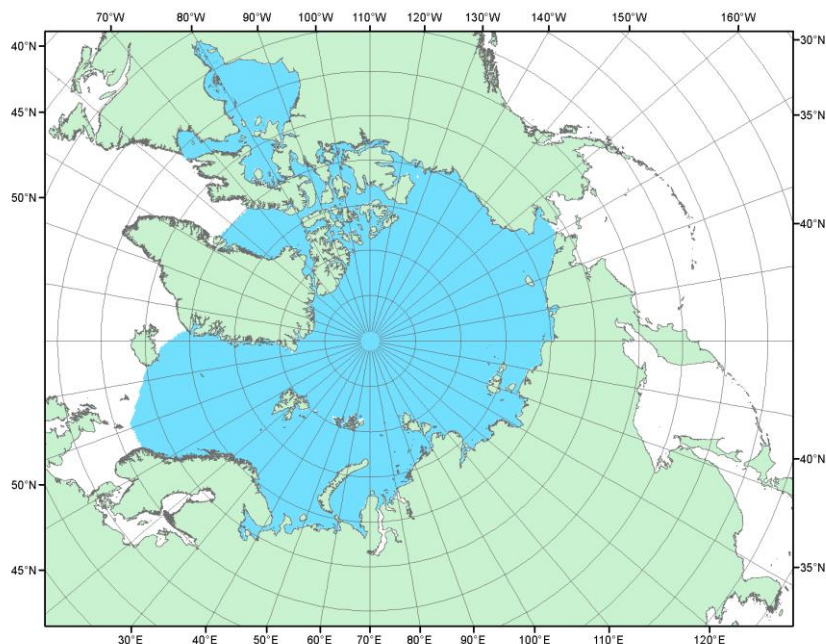


Рисунок П2 – Северный ледовитый океан в официальных границах

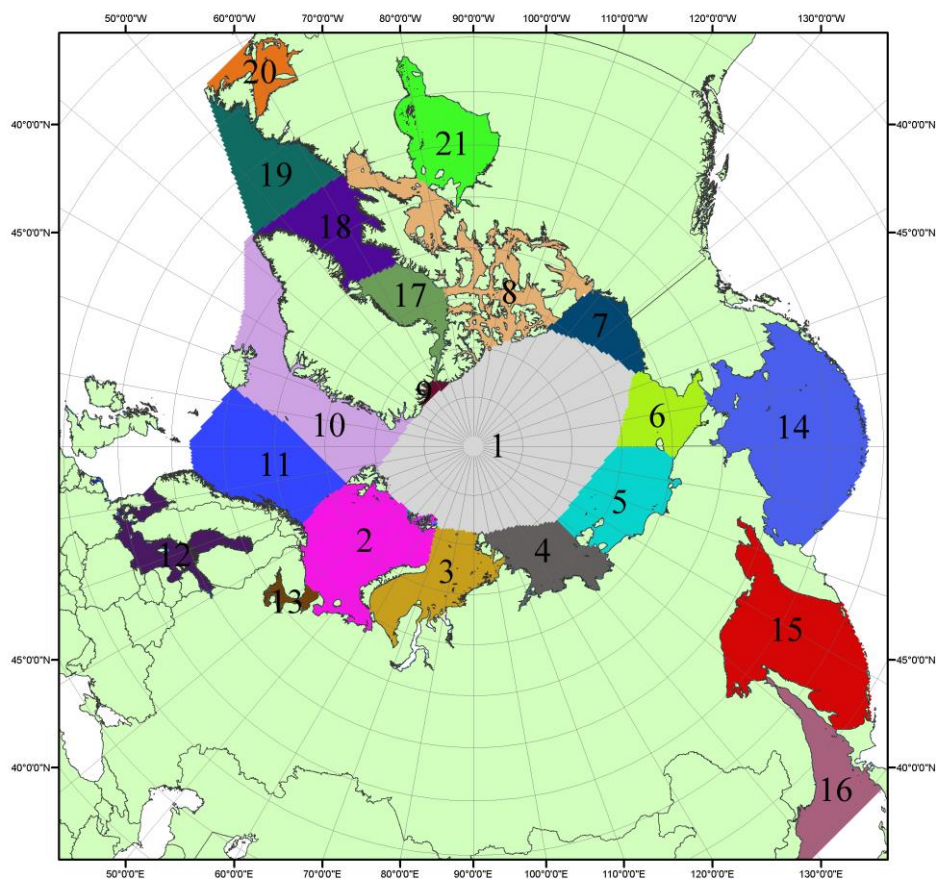


Рисунок П3 – моря северной полярной области. 1 – Арктический бассейн; 2- Баренцево море; 3 – Карское море; 4 – море Лаптевых; 5 - Восточно-Сибирское море; 6 – Чукотское море; 7 – море Бофорта; 8 – Канадский архипелаг; 9 – море Линкольна; 10 – Гренландское море; 11 – Норвежское море; 12 – Балтийское море; 13 – Белое море; 14 – Берингово море; 15 – Охотское море; 16 – Японское море; 17 – море Баффина; 18 – Дейвисов пролив; 19 – море Лабрадор; 20 – залив Святого Лаврентия; 21 – Гудзонов залив.

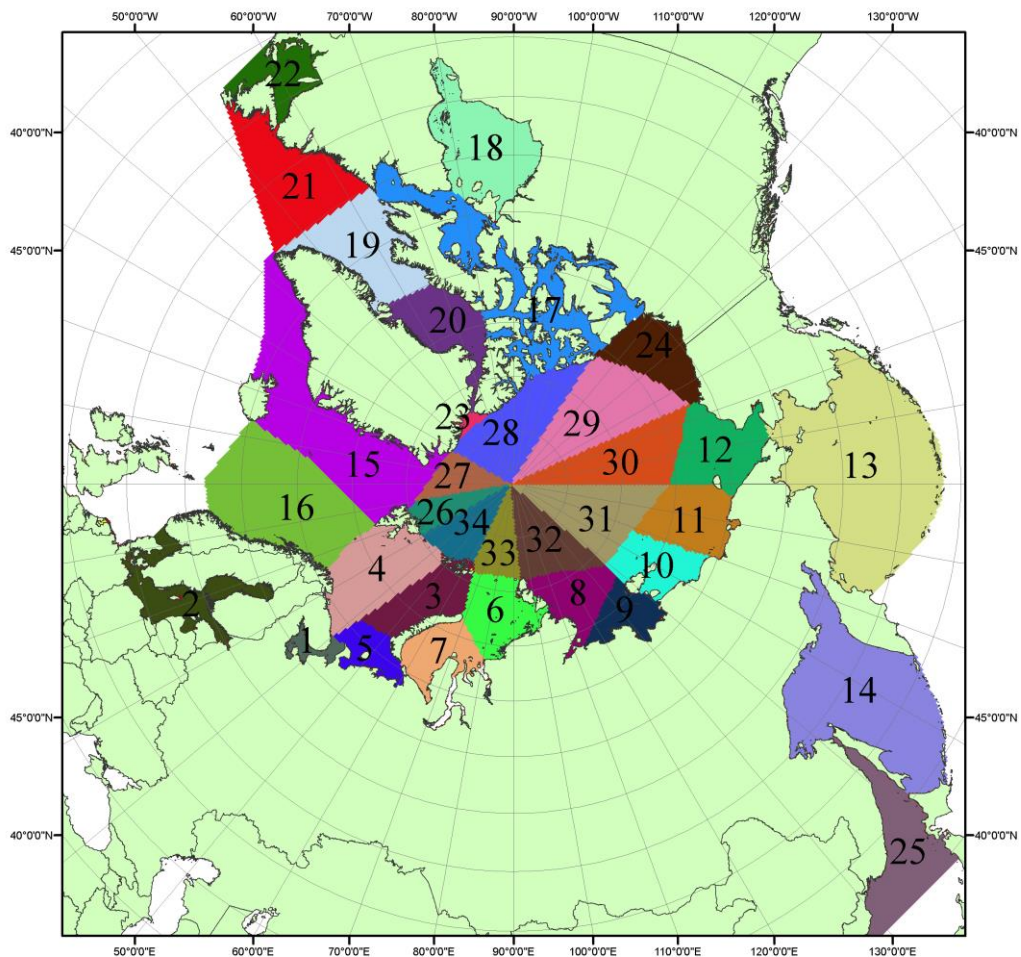


Рисунок П4 – Сектора и моря северной полярной области. 1 - Белое море; 2- Балтийское море; 3 – Баренцево море (СВ); 4 – Баренцево море (З); 5 - Баренцево море (ЮВ); 6 – Карское море (СВ); 7 – Карское море (ЮЗ); 8 – море Лаптевых (В); 9 – море Лаптевых (З); 10 – Восточно-Сибирское море (З); 11 – Восточно-Сибирское море (В); 12 –Чукотское море; 13 –Берингово море; 14 – Охотское море; 15 –Гренландское море; 16 – Норвежское море; 17 – Канадский архипелаг; 18 – Гудзонов залив; 19 – Дейвисов пролив; 20 - море Баффина; 21 – море Лабрадор; 22 - залив Святого Лаврентия; 23 - море Линкольна; 24 - море Бофорта; 25 - Японское море; 26 - сектор АО (30°з.д. – 10°в.д.); 27 – сектор АО (10°в.д. – 30°в.д.); 28 - сектор АО (30°в.д. – 65°в.д.); 29 - сектор АО (65°в.д. – 96°в.д.);30 - сектор АО (96°в.д. – 140°в.д.);31 - сектор АО (140°в.д. – 180°в.д.); 32 - сектор АО (180°в.д. – 156°з.д.); 33 - сектор АО (156°з.д. – 123°з.д.); 34 - сектор АО (123°з.д. – 30°з.д.).

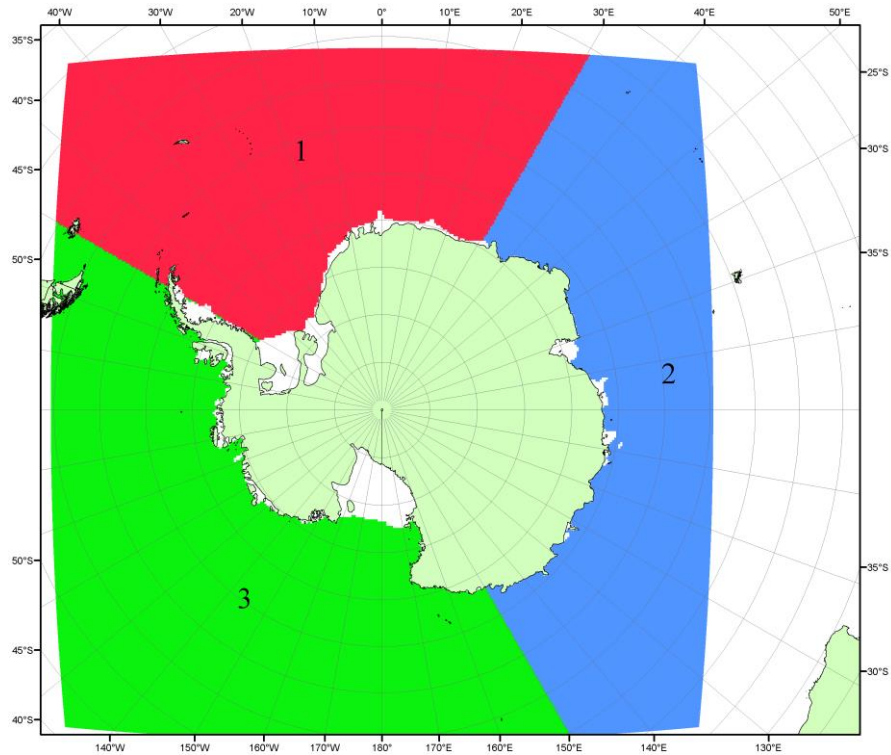


Рисунок П5 – Секторальное деление Южного океана. 1 - Атлантический сектор (60°W-30°E, море Уэдделла); 2 - Индоокеанский сектор (30°E-150°E, моря Космонавтов, Содружества, Моусона); 3 - Тихоокеанский сектор (150°E-60°W, моря Росса, Беллингаузена)

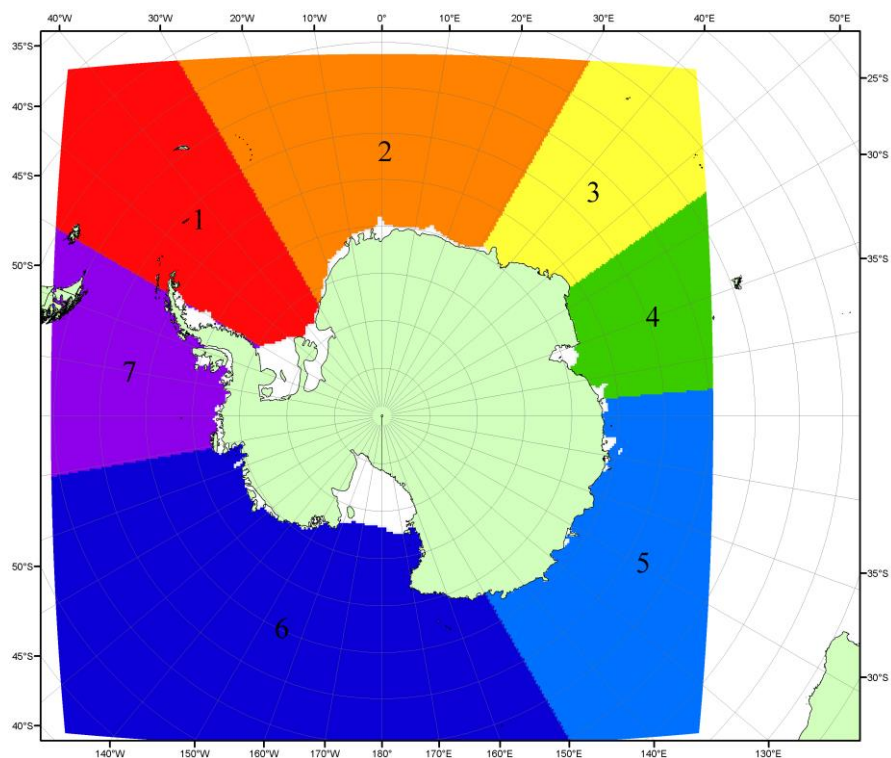


Рисунок П6 – Моря Южного океана. 1 – Западная часть моря Уэдделла; 2- Восточная часть моря Уэдделла; 3 – Море Космонавтов; 4 – море Содружества; 5 – море Моусона; 6 – море Росса; 7 – Море Беллингаузена.

СПИСОК ИСТОЧНИКОВ

1. Атлас океанов. Северный Ледовитый океан. – 1980. М: Изд. ГУНИО МО СССР ВМФ – 184 с.
2. Атлас океанов. Термины. Понятия. Справочные таблицы. - Изд. ВМФ МО СССР.-1980.
3. Границы океанов и морей. – 1960. Л.: Изд. ГУНИО ВМФ. – 51 с.
4. Обзорные ледовые карты ФГБУ «ААНИИ» Северного Ледовитого океана за 2008-2018 гг. в обменном формате ВМО СИГРИД-3 // Мировой центр данных по морскому льду - Глобальный банк данных по морскому льду – <http://wdc.aari.ru/datasets/d0015>.
5. Комплексные ледовые карты ФГБУ «ААНИИ» Южного океана за 2014-2018 гг. в обменном формате ВМО СИГРИД-3 // Мировой центр данных по морскому льду - Глобальный банк данных по морскому льду – <http://wdc.aari.ru/datasets/d0015>.
6. Комплексные ледовые карты ФГБУ «ААНИИ» арктических и замерзающих морей России за 1997-2018 гг. в обменном формате ВМО СИГРИД-3 // Мировой центр данных по морскому льду - Глобальный банк данных по морскому льду – <http://wdc.aari.ru/datasets/d0004>.
7. Карты ФГБУ «ААНИИ» анализа крупных айсбергов Южного океана за 2014-2018 гг. в обменном формате ВМО СИГРИД-3 // Мировой центр данных по морскому льду - Глобальный банк данных по морскому льду – <http://wdc.aari.ru/datasets/d0015>.
8. Комплексные ледовые карты ФГБУ «Гидрометцентр России» Азовского, Каспийского и Белого морей за 2000-2017 гг. в обменном формате ВМО СИГРИД-3 // Мировой центр данных по морскому льду - Глобальный банк данных по морскому льду – <http://wdc.aari.ru/datasets/d0033>.
9. Комплексные ледовые карты ФГБУ «НИЦ Планета» Азовского, Каспийского, Берингова, Охотского и Японского морей за 2016-2018 гг. в обменном формате ВМО СИГРИД-3 // Мировой центр данных по морскому льду - Глобальный банк данных по морскому льду – <http://wdc.aari.ru/datasets/d0034>.
10. Комплексные ледовые карты Северной полярной области и Южного океана Национального ледового центра США за 2003-2018 гг. в обменном формате ВМО СИГРИД-3 // Мировой центр данных по морскому льду - Глобальный банк данных по морскому льду – <http://wdc.aari.ru/datasets/d0032>.
11. Карты анализа крупных айсбергов Южного океана Национального ледового центра США за 2014-2018 гг. в обменном формате ВМО СИГРИД-3 // Мировой центр данных по морскому льду - Глобальный банк данных по морскому льду – <http://wdc.aari.ru/datasets/d0032>.
12. Комплексные ледовые карты Канадской Арктики Канадской ледовой службы за 2006-2018 гг. в обменном формате ВМО СИГРИД-3 // Мировой центр данных по морскому льду - Глобальный банк данных по морскому льду – <http://wdc.aari.ru/datasets/d0031>.
13. Cavalieri, D., C. Parkinson, P. Gloersen, and H. J. Zwally. 1996, updated 2008. *Sea Ice Concentrations from Nimbus-7 SMMR and DMSP SSM/I Passive Microwave Data*, [1978.10.26 – 2007.12.31]. Boulder, Colorado USA: National Snow and Ice Data Center. Digital media.
14. Meier, W., F. Fetterer, K. Knowles, M. Savoie, M. J. Brodzik. 2006, updated quarterly. *Sea Ice Concentrations from Nimbus-7 SMMR and DMSP SSM/I Passive Microwave Data*, [2008.01.01 – 2008.03.25]. Boulder, Colorado USA: National Snow and Ice Data Center. Digital media.
15. Maslanik, J., and J. Stroeve. 1999, updated daily. *Near-Real-Time DMSP SSM/I-SSMIS Daily Polar Gridded Sea Ice Concentrations*, [2008.03.26 – present moment]. Boulder, Colorado USA: National Snow and Ice Data Center. Digital media.
16. Andersen, S., R. Tonboe, L. Kaleschke, G. Heygster, and L. T. Pedersen, Intercomparison of passive microwave sea ice concentration retrievals over the high-concentration Arctic sea ice.// *J. Geophys. Res.* – 2007. – Vol. 112. C08004, doi:10.1029/2006JC003543.
17. Статистические характеристики сплоченности морского льда Северной полярной области и Южного океана на основе данных наблюдений SSMR-SSM/I-SSMIS, алгоритм NASATEAM // Мировой центр данных по морскому льду - Глобальный банк данных по морскому льду – <http://wdc.aari.ru/datasets/ssmi>.
18. SIGRID-3: A vector archive format for Sea Ice Georeferenced Information and Data - JCOMM Technical Report Series No. 23, 2014, WMO/TD-No.1214.

19. Ice Chart Colour Code Standard. - JCOMM Technical Report Series No. 24, 2004, WMO/TD-No.1215.

(http://jcomm.info/index.php?option=com_oe&task=viewDocumentRecord&docID=4914)

20. Danish Meteorological Institute North Atlantic - Arctic Ocean model HYCOM-CICE - <http://ocean.dmi.dk/models/hycom.uk.php>

21. Портал данных ледового анализа Южного океана Норвежского метеорологического института - <http://polarview.met.no/Antarctic.html>

22. Портал полярных данных Датского метеорологического института - <http://polarportal.dk>

23. Комплексные ледовые карты Берингова и чукотского морей Ледовой службы отделения НОАА Аляска в обменном формате ВМО СИГРИД-3 // <https://www.weather.gov/>.

24. AWI CryoSat-SMOS Merged Sea Ice Thickness - <https://spaces.awi.de/display/CS2SMOS/CryoSat-SMOS+Merged+Sea+Ice+Thickness>

25. Flanders Marine Institute (2018). ИО Sea Areas, version 3. Available online at URL: <http://www.marineregions.org/> (дата обращения 08.04.2023).

26. Полярная равноплощадная проекция Ламберта. URL: <https://epsg.io/3576> (дата обращения 07.04.2023).